



รายงานวิจัยฉบับสมบรูณ์

โครงการ การศึกษาหน้าที่ของในโตคอนเครียจากเซลล์ที่ติดเชื้อ Burkholderia pseudomallei

โดย ดร. อิษฎา เล่งเวหาสถิตย์ และคณะ

มิถุนายน 2548





รายงานวิจัยฉบับสมบรูณ์

โครงการ การศึกษาหน้าที่ของไมโตคอนเดรียจากเซลล์ที่ติดเชื้อ Burkholderia pseudomallei

โดย ดร. อิษฎา เล่งเวหาสถิตย์ และคณะ

มิถุนายน 2548

รายงานวิจัยฉบับสมบูรณ์

โครงการ การศึกษาหน้าที่ของไมโตคอนเครียจากเซลล์ที่ติดเชื้อ

Burkholderia pseudomallei

คณะผู้วิจัย สังกัด

ดร.อิษฎา เล่งเวหาสถิตย์ ภาควิชาเทคโนโลยีชีวภาพ

คณะวิทยาศาสตร์ มหาวิทยาลัยมหิดล

2. ดร. พงศ์ศักดิ์ อุทัยสินธุเจริญ ภาคจุลชีววิทยา คณะวิทยาศาสตร์

มหาวิทยาลัยมหิดล

สนับสนุนโดยทบวงมหาวิทยาลัย และสำนักงานกองทุนสนับสนุนการวิจัย

(กวามเท็นในรายงานนี้เป็นของผู้วิจัย ทบวงฯ และสกว. ไม่จำเป็นต้องเห็นด้วยเสมอไป)

สารบัญเรื่อง

	ทน
บทคัดย่อไทย	1
บทคัดย่ออังกฤษ์	5
•	
Executive Summary	ā
ำ. บทนีว์	2
2. วิธีการวิจัย	Č
2.1 การกฎาะเลี้ยงเซลต์	(
2 2 การ infect เชกก์	į
2.3 การวิเคราะท์การอยู่รอดของเซลล์	6
2 4 การคร มงสอบการรั้วของไมโตคอนเครีย	6
2.5 ก่าทานุสกิติ	ŧ
3, ผลการทดลอง	ķ
3 T การเปลี่ยนแปลงรูปร่างของเซลล์หลังได้รับเชื้อ B. pseudomallei	9
3.2 กับเมกผู้รากของเซกล์หลังใต้ร้ามชื้อ B. pseudomallei	10
3.3 การปล่อย lactate dehydrogenase (LDH) จากเชลก์ที่ได้รับเชื้อ B: pseudomallet	,11
3.4 การเปลี่ยนแปลงของ mitochondrial membrane potential (ΔΨ,,) ในเซลล์ที่ได้รับเชื้อ	
R psqulomallei	14
3.5 การทำเกายเซกล์ของเชื้ออาศัยเชื้อที่มีชีวิตและการเข้าสู่เซลล์ของเชื้อ	17
У G ผถของเชื้อ B: pscudemaller ต่อการรั้วของ cytochrome e และการทำงานของ caspase-3	18
ง. สรุปและวิทาราะทัพส	20
5. References	22
Output ที่ได้รับจากโครงการ	24
o forman	•

สารบัญรูป

รูปที่		หน้า
Figure 1	Cell fusion and multinucleated cell formation in B. pseudomallei-infected cells	9
Figure 2	Cell viability of cells infected B. pseudomallei (844) and B. thailandensis (UE5)	10
Figure 3	LDH release from macrophage (RAW264.7) cells infected with 844 and LIE5	12
Figure 4	Change in the LDH activity from RAW264.7 (a) and A549 (b) cells infected with	
	844 and UE5 during the time course	13
Figure 5	Detection of mitochondrial membrane potential from RAW264.7 and A549 cells	
	infected with 844 and UE5	15
Figure 6	Change in the mitochondrial membrane potential during the time course of	
	RAW264.7 (a) and A549 cells (b) infected with 844 and UE5	16
Figure 7	Effect of IFN-gamma, cytochalasin D and non-living bacteria to cell damage	17
Figure 8	Cytochrome c release from the mitochondria of 844-infected RAW264.7 cells	19
Figure 9	Activation of caspase-3 in 844-infected RAW264.7 cells	19

สัญญาเลขที่ : MRG4680057

ใครงการ : การศึกษาหน้าที่ของไมโตคอนเครียจากเซลล์ที่ติดเชื้อ Burkholderia pseudomallei

คณะผู้วิจัย : ดร.อิษฎา เล่งเวหาสถิตย์ ¹

ดร. พงศ์ศักดิ์ อุทัยสินธุเจริญ ² (นักวิจัยที่ปรึกษา)

ภาควิชาเทคโนโลยีชีวภาพ ¹ และ ภาควิชาจุลชีววิทยา ² คณะวิทยาศาสตร์ มหาวิทยาลัยมหิดล

E-mail address: scilw@mahidol.ac.th

ระยะเวลาดำเนินการ : 1 กรกฎาคม 2546 - 30 มิถุนายน 2548

บทคัดช่อ

Burkholderia pseudomallei เป็นแบคทีเรียกรัมลบที่ก่อให้เกิดโรคเมลิออยโดชิสในคนและลัตว์ เชื้อชนิด นี้สามารถหลบหลีกระบบภูมิคุ้มกัน รวมทั้งมีชีวิตอยู่รอดและเพิ่มปริมาณได้ใน phagocytic cells เช่น แมคโครฟาจ และ non-phagocytic cells เช่น epithelial cells อย่างไรก็ตามกลไกการตอบสนองของเซลล์และการก่อให้เกิดโรค ของเชื้อนั้นยังไม่เป็นที่ทราบกันแน่นอน ในงานวิจัยนี้พบว่าทั้งเชื้อ B. pseudomallei (สายพันธุ์ที่ก่อให้เกิดโรค) ทำ ให้เซลล์แมคโครฟาจ (RAW264.7) มีการรั่วของ lactate dehydrogenase (LDH) จากเยื่อหุ้มเซลล์ซึ่งบ่งบอกว่า เซลล์มีความเป็นพิษ และโดยส่วนหนึ่งอาจจะเป็นผลมาจากการลดลงของ mitochondrial membrane potential (Δψ,,) ที่มากกว่าเมื่อเปรียบเทียบกับ B. thailandensis (สายพันธุ์ไม่ก่อให้เกิดโรค) นอกจากนั้นยังพบว่าเชื้อที่ไม่มี ชีวิตไม่มีผลต่อการเปลี่ยนแปลงข้อง LDH และ Δψ, ในเซลล์ แลดงให้เห็นว่าการเปลี่ยนแปลงทั้ง LDH และ Δψ, ภายในเซลล์นั้นจะต้องอาศัยเชื้อที่มีชีวิตเท่านั้น นอกจากนั้นยังพบว่าการเปลี่ยนแปลงของไมโตคอนเดรียทำให้มี การรัวของ cytochrome c และการทำงานของ caspase ซึ่งมีผลทำให้เซลล์สามารถเกิดการตายแบบ apoptosis ได้ ดังนั้นจากผลการวิจัยนี้สามารถสรุปได้ว่าเชื้อ B. pseudomallei ทำลายเซลล์โดยการทำให้ไมโตคอนเดรีย สูญเสียหน้าที่ไปและการเปลี่ยนแปลงนี้ขึ้นอยู่กับเชื้อที่มีชีวิตอยู่ภายในเซลล์เท่านั้น

คำสำคัญ: Melioidosis, Burkholderia pseudomallei, Burkholderia thailandensis, LDH, mitochondrial membrane potential, cytochrome c, caspase-9

Project code: MRG4680057

Project title: Study of mitochondrial function of the cells infected with Burkholderia pseudomallei

Investigators: Dr. Idsada Lengwehasatit 1

Dr. Pongsak Utaisincharoen ² (Mentor)

Department of Biotechnology 1 and Department of Micrology 2 Faculty of Science,

Mahidol University

E-mail address: scilw@mahidol.ac.th

Project Duration: 1 July 2003 - 30 June 2005

Abstract

Burkholderia pseudomallei is gram-negative bacterium causing melioidosis. The bacteria are usually found in contaminated soil and water and are transmitted to humans and animals through direct contact with the contaminated sources. This infection affects various organs throughout the body leading to death if host defense mechanism relapses. However, in which cellular mechanism responding to this bacterium conducting to pathogenesis is not fully known. After internalization, both bacteria could survive and multiply inside cells. Morphological changes of the infected cells including cell-cell fusion and the formation of multinucleated giant cells were observed. In this study, we demonstrated that B. pseudomallei could induce the release of lactate dehydrogenase (LDH) and the decrease of mitochondrial membrane potential ($\Delta \Psi_m$) that significantly more than the macrophage infected with B. thailandensis (non-pathogenic strain). The increase of LDH leakage and the decrease of $\Delta \Psi_m$ are the indicators of cell damaging by B. pseudomallei. We also found that the cell damage was not observed when the cells were activated with heat killed-bacteria indicating that the effect to LDH release and $\Delta \psi_m$ inside macrophage required only living B. pseudomallei. In addition, the loss of mitochondrial membrane potential resulted in cytochrome c release and the activation of caspase leading to apoptotic cell death. This result suggests that B. pseudomallei (pathogenic material) can cause cell damage by interfering mitochondria while the non-pathogenic strain can not damage cells at the same level. Furthermore, the cell damage induced by B. pseudomallei requires the internalization of living bacteria.

Keywords: Melioidosis, *Burkholderia pseudomallei*, *Burkholderia thailandensis*, LDH, mitochondrial membrane potential, cytochrome c, caspase-9

MRG4680057 2

Executive Summary

โรคเมลิขอยโดริสเป็นโรคในคนและสัตว์ที่เกิดจากการได้รับเชื้อ Burkholderia pseudomallei ซึ่งระบาด ในประเทศเขตร้อนรวมทั้งประเทศไทยด้วย โดยคนและสัตว์สามารถติดเชื้อได้จากการลัมผัสกับแหล่งดินและน้ำ หรือการหายใจเอาผุ้นละของที่มีการปนเปื้อนของเชื้อเข้าไป การติดเชื้อนั้นสามารถทำให้ผู้บ่วยเสียชีวิตได้หากเชื้อ ลามไปทั่วร่างกายและระบบป้องกันตัวลัมเหลว กลไกการก่อโรคของเชื้อขนิดนี้ยังไม่เป็นที่ทราบแน่นขนแต่จาก การศึกษาก่อนหน้านี้พบว่าเชื้อสามารถหลีกหนีจากการทำลายของเซลล์แมคโครฟาจ หลังจากที่เซลล์ได้รับเชื้อ พบว่ามีการเปลี่ยนแปลงของเซลล์คือเซลล์มีการรวมตัวกัน กลายเป็น multinucleated giant cells และยังพบการ ตายของเซลล์แบบ apoptosis ด้วย จากผลงานวิจัยนี้พบว่าเชื้อขนิดนี้ทำให้เซลล์เป็นพิษโดยมีการรั่วของ lactate dehydrogenase (LDH) ขอกมาจากเซลล์ ซึ่งปริมาณของเข็นไขม์ชนิดนี้จะเพิ่มมากขึ้นเมื่อเซลล์ถูกทำลาย อีกทั้ง ปริมาณเชื้อที่ได้รับมากขึ้นยังส่งผลให้มีการรั่วของ LDH มากขึ้น ซึ่งเป็นผลให้เซลล์ตายเพิ่มขึ้น อย่างไรก็ตามการรั่วของ LDH สามารถลดลงได้ เมื่อทำการ treat เซลล์ก่อนการได้รับเชื้อด้วย IFN-gamma เพื่อกระตุ้นให้เซลล์สามารถ ผลิต nitric oxide เพื่อฆ่าเชื้อแบคทีเรียที่อยู่ภายในเซลล์ หรือทำการ treat เซลล์ด้วย cytochalasin D เพื่อขับยั้ง actin polymerization ซึ่งทำให้แบคทีเรียไม่สามารถเข้าสู่เซลล์

นอกจากนี้เมื่อตรวจสอบดูการเปลี่ยนแปลงของไมโตคอนเดรียในเซลล์ที่ติดเชื้อพบว่า B. pseudomallei สามารถทำให้ไมโตคอนเดรียมีการลดลงของระดับ mitochondrial membrane potential ($\Delta\psi_m$) และเมื่อทำการ treat เซลล์ก่อนการได้รับเชื้อด้วย IFN-gamma พบว่า $\Delta\psi_m$ ในเซลล์ไม่เปลี่ยนแปลง การเปลี่ยนแปลงของ $\Delta\psi_m$ ใน เซลล์ที่ติดเชื้อยังเป็นผลให้โมเลกุลอื่นๆในไมโตคอนเดรียได้แก่ cytochrome c รั่วออกมา ซึ่งทำให้เอ็นไซม์ caspase ทำงาน และเป็นสาเหตุหนึ่งที่ทำให้เกิดการตายของเซลล์แบบ apoptosis ได้ จากผลการศึกษานี้สรุปได้ ว่า เชื้อ B. pseudomallei มีความเป็นพิษต่อเซลล์ซึ่งการเปลี่ยนแปลงระดับของ LDH สามารถใช้เป็นตัวบ่งบอก การทำลายของเซลล์เบื้องต้นได้ และการที่เซลล์ถูกทำลายนั้นส่วนหนึ่งเป็นผลมาจากการเปลี่ยนแปลงของไมโตคอนเดรีย และการเปลี่ยนแปลงนี้ขึ้นกับเชื้อที่มีชีวิตและการเข้าสู่เซลล์ของเชื้ออีกด้วย

เนื้อหางานวิจัย

บทน้ำ

Burkholderia pseudomallei เป็นแบคทีเรียชนิดกรัมลบที่ทำให้เกิดโรค melioidosis ซึ่งระบาดใน ประเทศเขตร้อน ได้แก่ ประเทศในเอเชียตะวันออกเฉียงใต้ ทางเหนือของประเทศออสเตรเลีย และประเทศในเขต เส้นศูนย์สูตร รวมทั้งประเทศไทยด้วย (Howe et al, 1971; Chaowagul et al, 1989; Leelarasamee and Bovomkitti, 1989; Yabuuchi and Arakawa, 1993) โดยคนและสัตว์สามารถติดเชื้อได้จากการลัมผัสกับแหล่งดิน และน้ำหรือการหายใจเอาผุ้นละอองที่มีการปนเปื้อนของเชื้อเข้าไป

จากรายงานการวิจัยที่ผ่านมานั้นพบว่าส่วนใหญ่เชื้อจะผ่านเข้าสู่ร่างกายคนทางบาดแผลและเข้าสู่กระแส เลือด และทำให้ผู้ป่วยเกิดอาการใช้สูง ซึ่งตรงนี้อาจเกิดจากสารพิษที่ตัวเชื้อปล่อยออกมา รวมทั้งเกิดจากการที่ ร่างกายพยายามสร้างกลไกการป้องกันตัวขึ้นในกระแสเลือดโดยการปล่อยสารเกี่ยวข้องกับระบบภูมิต้านทาน ออกมา แต่เนื่องจากเชื้อขนิดนี้จะมีการกระตุ้นกลไกนี้อย่างรุนแรงทำให้ร่างกายหลั่งสารนี้ออกมามากเกินไป จึงทำ ให้ผู้ป่วยเกิดอาการช็อค และเสียชีวิตก่อนการวินิจฉัยโรค (Mays and Ricketts, 1975) ซึ่งอาการเหล่านี้ หาก ผู้รักษาไม่ทราบหรือไม่สังเกตว่าน่าจะเป็นอาการของโรค Melioidosis และผู้ป่วยได้รับเชื้อเข้าสู่ร่างกายในปริมาณ มากๆ แล้วอาจทำให้ผู้ป่วยเสียชีวิตในเวลาเพียง 2-3 วัน ทั้งๆ ที่หากได้รับการรักษาอย่างถูกต้องและทันท่วงที่ ผู้ป่วยจะสามารถหายเป็นปกติโดยง่าย

นอุกจากนี้ในธรรรมชาติก็ยังมี Burkholderia บางสายพันธุ์ที่ไม่ก่อให้เกิดโรค เช่น Burkholderia thailandensis (B. thailandensis) โดยทั้ง 2 สายพันธุ์นี้มีความคล้ายคลึงกันมาก ปัจจุบันจึงมีนักวิจัยจำนวนมากที่ พยายามศึกษาถึงความสัมพันธ์ของ Burkholderia sp. ทั้ง 2 สายพันธุ์นี้รวมทั้งศึกษาการตอบสนองของเซลล์ที่ ได้รับเชื้อ เพื่อนำความรู้ที่ได้ไปประยุกต์ใช้ในการศึกษาถึงกลไกการเกิดโรค Melioidosis

B. pseudomallei สามารถมีชีวิตและเพิ่มปริมาณในเชลล์ทั้ง phagocytic cells เช่น แมคโครฟาจ และ non-phagocytic cells เช่น epithelial cells ได้ (Jones et al, 1996; Pruksachartvuthi et al, 1990) จากรายงาน การวิจัย เชื้อชนิดนี้สามารถหลบระบบภูมิคุ้มกันของ innate immunity โดยเมื่อเชื้อที่ถูกแมคโครฟาจ uptake เข้าไป จะมีอัตราการผลิต nitric oxide (NO) และการแสดงออกของ inducible nitric oxide (iNOS) ที่ต่ำ ทำให้แมคโคร ฟาจไม่สามารถทำลายเชื้อได้ (Utaisincharoen et al, 2001) นอกจากนี้ยังมีการพบการเปลี่ยนแปลงรูปร่างของ เซลล์หลังการถูก infect ด้วยเชื้อชนิดนี้ โดยที่แบคทีเรียสามารถหลบเลี่ยงการถูกทำลายโดยแมคโครฟาจและ สามารถทำให้เกิดการรวมตัวกันของเซลล์หลายเซลล์กลายเป็นเซลล์ขนาดใหญ่ที่มีหลายนิวเคลียล

(Multinucleated giant cells) อย่างไรก็ตามการตอบสนองของเซลล์และกลไกการบุกทำลายของเชื้อนี้ยังไม่เป็นที่ ทราบกันแน่นอน รายงานวิจัยยังพบว่า *B. pseudomallei* มีการกระตุ้นให้ host cells เปลี่ยนแปลงรูปร่างคือ เซลล์ เกิดการหดตัวเนื่องจากโครมาตินหดตัวและดีเอ็นเอถูกทำลายโดยเห็นเป็นคล้ายๆ ladder ซึ่งเป็นสิ่งบ่งชี้ว่าเซลล์ ตายแบบ apoptosis (Kespichayawattana et al. 2000)

การเกิด apoptosis ของ host cells อาจเป็นสิ่งที่จะนำไปสู่การอักเสบหรือเป็นกลใกการป้องกันตัวเอง ของ host cells เซลล์แมคโครฟาจเป็นเซลล์หนึ่งที่เป็นอันตรายต่อเชื้อ รายงานที่ผ่านมาพบว่ามีเชื้อหลายชนิดที่ กระตุ้นให้เซลล์เกิด apoptosis เช่น Shigella spp. และ Salmonella spp. ซึ่งสามารถกระตุ้นให้เซลล์เกิด cytotoxicity และ การอักเสบด้วย ซึ่งการศึกษากลไกการตายของเซลล์หลังได้รับเชื้อนี้ทำให้ทราบการก่อให้เกิดโรค ได้ (Navarre and Zychlinsky, 2000; Jarvelainen et al, 2003)

ไมโตคอนเดรียมีบทบาทลำคัญในขบวนการตายของเขลล์โดยเป็นตัวเชื่อมโยงลัญญาณภายนอกกับ ภายในเขลล์ ลัญญาณภายนอกโดย ligand engagement ของ receptors บนผิวเชลล์ สามารถกระตุ้นให้เกิด permeabilization ของเยื่อหุ้มเชลล์ขึ้นนอกของไมโตคอนเดรีย เป็นผลให้เกิดการลดลงของ membrane potential ($\Delta \psi_{m}$) ของไมโตคอนเดรีย และการปลดปล่อยของสารบางอย่างจากไมโตคอนเดรีย เช่น cytochrome c จะเป็น ลัญญาณภายในซึ่งสามารถกระตุ้นการทำงานของ caspase (cysteine aspartate proteases) และการแสดงออก ของยืนที่ควบอุมการตายของเซลล์ (Mignotte and Vaysslere, 1998) ดังนั้นการศึกษาการเปลี่ยนแปลงของ ไมโตคอนเดรียจากเซลล์ที่ได้รับเชื้อเชื้อนี้ในระดับโมเลกุลจะช่วยให้เข้าใจถึงกลไกการเกิดโรคและการตอบสนอง ของเซลล์ต่อเชื้อ *B. pseudomaliei*

งานวิจัยนี้จะทำการวิเคราะห์และเปรียบเทียบการเปลี่ยนแปลงของไมโตคอนเครียในระดับโมเลกุลโดย การตรวจวัดการเปลี่ยนแปลงของ Δψ_m การรั่วของ LDH และ cytochrome c รวมทั้งการวัดการทำงานของ caspase ในเซลล์ที่ถูก infect ด้วย *B. pseudomallei* (pathogenic strain) และ *B. thailandensis* (nonpathogenic strain) และเพื่อศึกษาว่าการเปลี่ยนแปลงนี้มีส่วนลำคัญต่อการตายของเซลล์อย่างไร

2. วิธีการวิจัย

2.1 การเพาะเลี้ยงเชลล์

RAW 264.7 (ATCC#TIB-71) และ A549 (ATTC#CCL-185) ได้มาจาก the American Type Culture Collection (ATTC, Manassas,VA)

ทำการ seed เซลล์ mouse macrophage (RAW 264.7) และ human epithelial lung cell (A549) ด้วย DMEM (ผสม 10% FBS) โดยมีเซลล์ตั้งต้น 1×10^6 cells/ml สำหรับ RAW264.7 และ 5×10^5 cells/ml สำหรับ A549 ใน 6-well plates และนำไปเลี้ยงใน CO_2 incubator ข้ามคืนที่อุณหภูมิ 37° C ภายใต้สภาวะแวดล้อม 95% บรรยากาศ และ 5% CO_2 เพื่อทำการ infect ในวันรุ่งขึ้น

ลำหรับการ treat เซลล์ด้วย IFN-gamma นั้น จะ treat เซลล์ก่อนที่จะนำไป infect เป็นเวลา 16-20 ชั่วโมง ซึ่งจะกระตุ้นให้เซลล์ส่งลัญญาณให้เซลล์ข้างเคียงมีการผลิต nitric oxide ที่เพิ่มขึ้นเพื่อทำลายเชื้อในขณะที่ เชื้อเข้าสู่เซลล์ไปแล้ว

2.2 การ infect เชตต์

Berkholdena pseudomallei (ATTC 23343, WRAIR 286); strain 844 ได้จากผู้ป่วยโรงพยาบาลศรี นครินท์ จ. ขอนแก่น

Burkholderia thailandensis (ATCC700388); strain UE5 จากแหล่งดินในประเทศไทย

- 1. ในวันที่ทำการ infect นั้นให้เปลี่ยนอาหารเลี้ยงเซลล์ใหม่และเติมเชื้อแบคทีเรียลงไปในแต่ละหลุมของ จานเพาะเซลล์ตาม multiplicity of infection (MOI) ที่กำหนด เป็นเวลา 1 ชั่วโมง จากนั้นเซลล์จะถูกล้างโดย phosphate-buffered saline (PBS) จำนวน 3 รอบ สำหรับการ treat เซลล์ด้วย cytochalasin D นั้น จะทำการ treat เซลล์ด้วย cytochalasin D โดยมีความเข้มข้นสุดท้าย 2 µg/ml เป็นเวลา 2 ชั่วโมงก่อนการ infect
- 2. เดิมอาหารเลี้ยงเซลล์ที่ผสมด้วย kanamycin 250 µg/ml และเลี้ยงเซลล์ต่อไปอีก 2 ชั่วโมงสำหรับ RAW264.7 เพื่อกำจัดแบคทีเรียที่อาจจะเกาะอยู่ภายนอกเซลล์ จากนั้นเปลี่ยนอาหารเลี้ยงเซลล์ซึ่งมี kanamycin 20 µg/ml และทำการเลี้ยงเซลล์ต่อตามเวลาที่กำหนด

2.3 การวิเคราะห์การอยู่รอดของเชลล์

หลังจากเซลล์ถูก infect ตามเวลาที่กำหนดแล้ว ทำการ harvest เซลล์โดยล้างเซลล์ด้วย PBS สำหรับ RAW264.7 นั้นให้เติมอาหารเลี้ยงเซลล์ 1 ml และทำการขูดเซลล์ สำหรับ A549 นั้นให้ใช้ trypsin ในการแยกเซลล์ ทำการนับจำนวนเซลล์ตายและเซลล์ที่รอดชีวิตด้วย trypan blue dye exclusion และ light microscopy

2.4 การตรวจสอบการรัวของไมโตคอนเครือ

1. วิเคราะห์ LDH release

โดยใช้วิธีตามคู่มือที่แนบมากับ Cytotoxicity detection kit (LDH) (Promega) ซึ่งใช้หลักการปฏิกริยา ของ enzyme-substrate โดยการเก็บ cultured supernatant และ cell lysate มาทำปฏิกริยากับ substrate เป็น เวลา 30 นาที และนำไปวัด O.D. ที่ 490 nm ค่าที่ได้จะคำนวณเป็นเปอร์เซ็นต์การปลดปล่อยของ LDH ซึ่งคิดจาก LDH activity ใน medium และ ในเซลล์ % LDH activity (in supernatant) = (OD in sup-OD blank1) x 100

(OD in sup - OD blank1) + (OD in cell-OD blank2)

Set Blank1 = Fresh media

Blank2 = Fresh media + tysis buffer

Cell lysate เตรียมโดยการนำเซลล์จำนวน 2 x 10⁴ เซลล์มาทำให้แตกโดยใช้ 9% TritonX100 และ หลังจากที่บุ่มที่ 37°C 5% CO₂ เป็นเวลา 45 นาที แล้วให้เก็บเซลล์โดยการบั่นที่ ที่ 4°C ความเร็วรอบ 250 g เป็น เวลา 4 นาที ซึ่ง lysate ที่ได้จะนำไปทำการหา LDH ดังที่ได้กล่าวไว้ข้างต้น

2. วิเคราะห์การปลดปล่อยของ cytochrome c

โดยใช้วิธีการสกัด mitochondrial fraction ตามคู่มือที่แนบมากับ ApoAlert Cell Fractionation Kit (Clontech) จากนั้นจะ detect cytochrome c โดยใช้วิธี Western blot analysis การสกัดโปรตีนทำได้โดยการเติม Fractionation buffer mix ซึ่งมีส่วนผสมของ protease อยู่ ลงในเซลส์ที่เก็บมา ใช้เข็มฉีดยาทำให้เซลส์แตก และ ปั่นเหวี่ยงเพื่อเก็บส่วนที่เป็น cytosol จากนั้นนำส่วนที่ได้นี้ไปทำการหาปริมาณโปรตีนโดยใช้ Bradford reagentนำ โปรตีนความเข้มข้น 1-5 µg มาทำการแยกโปรตีนโดย SDS-PAGE ที่ 15% gel ทำการ transfer protein จาก acrylamide gel ลงสู่ nitrocellulose membrane และ probe membrane กับ cytochrome c antibody เป็นเวลา 24 ขั่วโมง เมื่อล้างและ probe ด้วย secondary antibody แล้ว ทำการเติม Substrate (Chemiluminescense) บน แผ่น membrane และนำไปประกบพิล์ม จะเห็น band protein ที่ได้อยู่ที่ 14 kDa

3. วิเคราะห์ mitochondrial membrane potential (ΔΨ_)

โดยใช้ JC-1 (5,5',6,6'-tetrachloro-1,1',3,3'-tetraethylbenzimidazolylcarbocyanine iodide) dye staining ซึ่งใช้ดูการเปลี่ยนแปลงของไมโตคอนเดรียในเซลล์ที่ได้รับเชื้อ การเปลี่ยนแปลงของ Δψ สามารถวัด ขอกมาเป็นค่าขัดราส่วนการดูดกลืนแลง fluorescence เมื่อถูก stain ด้วย lipophilic cation JC-1 (5,5',6,6'-tetrachloro-1,1',3,3'-tetraethylbenzimidazolylcarbocyanine iodide) ในเซลล์ปกติ JC-1 จะอยู่เป็น monomer เดี๋ยวๆใน cytosol (สีเขียว) และสะสมในไมโตคอนเดรียซึ่งติดสีแดง ในขณะที่เซลล์ที่เป็น apoptotic หรือ necrotic cells นั้น JC-1 จะอยู่ในรูป monomeric form และ stain cytosol เป็นสีเขียว ดังนั้นอัตราส่วนของ red fluorescence ต่อ green fluorescence จะลดลงในเซลล์ที่ตายและเซลล์ที่เข้าสู่ขบวนการ apoptosis เทียบกับ เซลล์ปกติ

การวิเคราะห์ทำได้โดยการ stain cell ด้วย JC-1 assay buffer เป็นเวลา 15 นาที ที่ 37ºC และนำไปวัด ค่าการเรื่องแลง red fluorescence (excitation 550 nm, emission 600 nm) และ green fluorescence (excitation 485, emission 535 nm)

4. วิเคราะห์ caspase activity

โดยใช้ BD ApoAlert[™] Caspase-3 Colorimetric Assay Kits (Clontech) ซึ่งทำได้โดยเก็บเซลล์ 2 x 10⁶ เซลล์ ทำการ lyse เซลล์โดย cell lysis buffer เป็นเวลา 10 นาที ที่ 4^oC เดิม reaction buffer/DTT mix และ caspase substrate (DEVD-pNA) และบ่มที่ 37^oC เป็นเวลา 1 ชั่วโมง จากนั้นนำตัวอย่างไปวัด O.D. ที่ 405 nm โดย microplate reader คำนวณปริมาณ pNA โดยทำ calibration curve

MRG4680057 7

Units caspase activity = Δ ODU X (1 / curve slope)

Δ ODU = the difference in ODU between an uninduced control and its corresponding induced sample

2.5 ค่าทางสถิติ

ค่าต่างๆที่คำนวณจากการทดลองที่ทำข้ำจะอยู่ในรูปของ means ± standard error of the mean (SEM) หรือ standard deviation (SD) ตามระบุ

SD =
$$\sqrt{ [(\Sigma(x-m)^2)/(n-1)]}$$

Where n = number of independent observations

n-1 = number of degrees of freedom

x = an observed value

m = arithmetical mean of n observations

Significance testing ทำโดยใช้ Student ℓ -test ซึ่งตัวเลขที่พิจารณาว่ามีความลำคัญคือที่ P < 0.05

3. ผลการทศสอง

3.1 การเปลี่ยนแปลงรูปร่างของเชลล์หลังได้รับเชื้อ B. pseudomallei

เซลส์เมื่อมีการติดเชื้อ B. pseudomallel สายพันธุ์ 844 พบว่าหลังการได้รับเชื้อเป็นเวลา 8 และ 12 ชั่วโมง สำหรับเซลล์ RAW264.7 และ A549 ตามลำดับ มีการเปลี่ยนแปลงคือ เกิดการรวมตัวของเซลล์ (cell fusion) และกลายเป็นเซลล์ที่มีขนาดใหญ่ซึ่งมีหลายนิวเคลียล (multinucleated glant cells) และการเปลี่ยนแปลง นี้จะพบได้น้อยในเซลล์ที่ได้รับเชื้อ B. theilandensis สายพันธุ์ UE5 (Figure 1) นอกจากนี้เมื่อทำการเพิ่มปริมาณ เชื้อ เช่น ที่ MOI 10:1 สำหรับ RAW264.7 ก็จะพบการเปลี่ยนแปลงที่รวดเร็วขึ้น

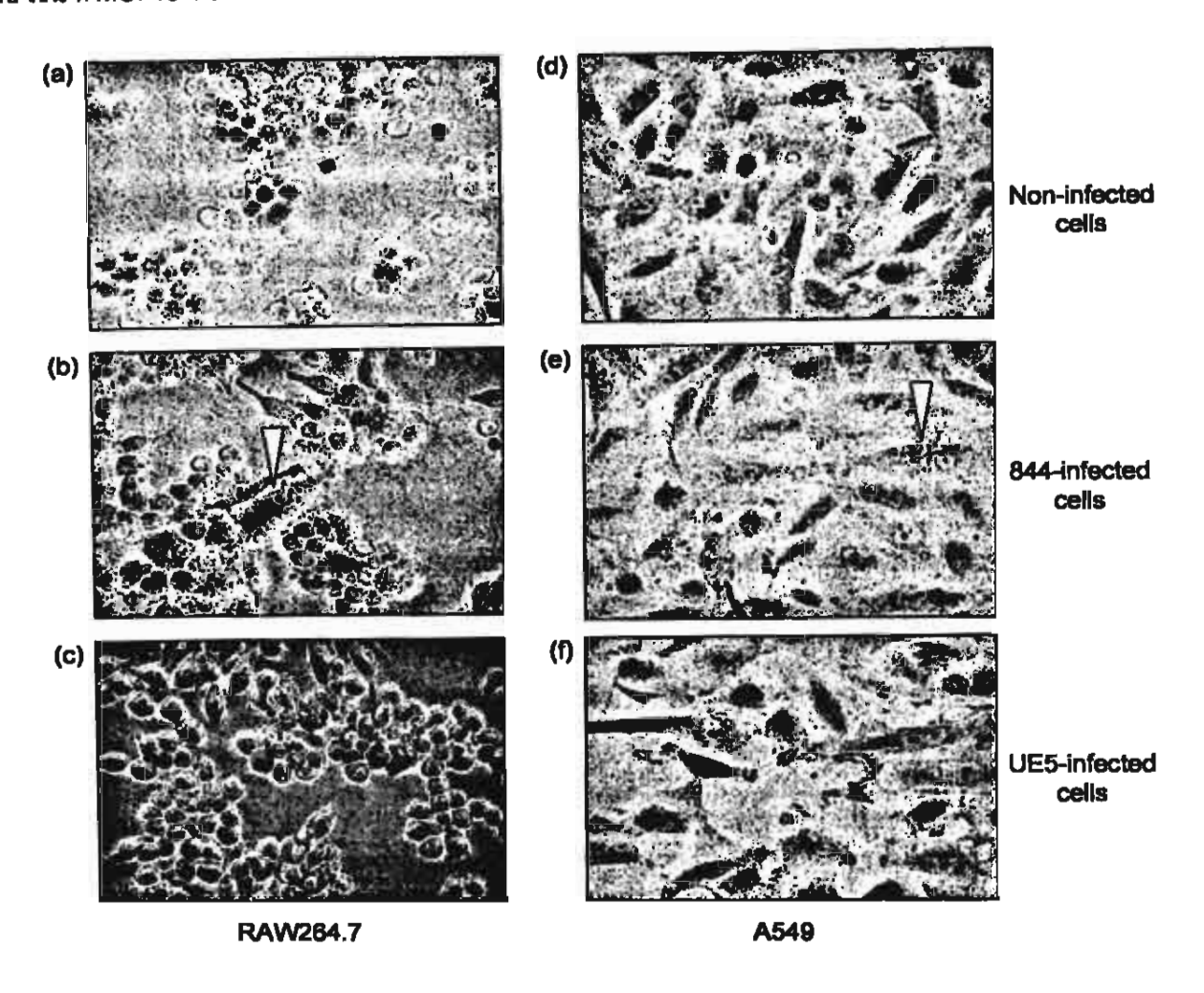


Figure 1. Cell fusion and multinucleated cell formation in *B. pseudomallei*-Infected cells. RAW264.7 and A549 cells were plated on 6-well plate the day before infection at the initial seeding of 1x10⁶ cells and 5x10⁶ cells, respectively. Cells were infected with *B. pseudomallei* (844) or *B. thailandensis* (UE5) at an MOI of 2:1 for RAW264.7 and an MOI of 10:1 for A549. After 1 h of infection, cells were treated with kanamycin. At 8 h (for RAW264.7) and 12 h (for A549), the cells were visualized under inverted microscope (20X). Multinucleated cells (arrowed) could be observed in the cells infected with 844 (b, e). Such a morphological change could not be visualized in non-infected cells (a, d) and UE5-infected cells (c, f).

MRG4680057 9

3.2 ความอยู่รอดของเขตล์หลังได้รับเชื้อ B. pseudomallei

การที่จะทดสอบผลของเชื้อที่มีต่อเชลล์ในระดับโมเลกุลนั้น จะต้องควบคุมให้เชลล์ที่ได้รับเชื้อมีเปอร์เช็นด์ ความอยู่รอดที่สูงในช่วงระยะเวลาที่ทำการศึกษา จากผลการทดลองพบว่าทั้งเซลล์ RAW264.7 และ A549 ที่ได้รับ เชื้อทั้งสองชนิด (844 และ UE5) ที่ MOI 2:1 และ 10:1 ตามลำดับนั้นยังคงมีเปอร์เซนต์ความอยู่รอดสูง (Figure 2 ลูกศรชี้) โดยมากกว่า 90% cell viability แต่เมื่อเพิ่มปริมาณเชื้อเข้าไปก็พบว่าเซลล์ RAW264.7 ณ เวลาที่ 8 ชั่วโมง มีเปอร์เซ็นต์ความอยู่รอดที่ต่ำลงโดยเมื่อได้รับเชื้อ 844 จะมีเปอร์เซ็นต์ความอยู่รอด 75% cell viability ที่ MOI 10:1 และ 35% cell viability ที่ MOI 100:1 ส่วนเซลล์ที่ได้รับเชื้อ UE5 ในปริมาณที่เพิ่มขึ้นนั้นพบว่ามี เปอร์เซ็นต์ความอยู่รอดที่สูงกว่าในเซลล์ที่ได้รับเชื้อ 844 ในปริมาณที่เท่ากัน โดย มีเปอร์เซ็นต์ความอยู่รอด 88% cell viability ที่ MOI 10:1 และ 75% cell viability ที่ MOI 100:1 จากการทดลองนี้จะเห็นว่าเชื้อ 844 มี ความสามารถในการทำลายเซลล์แมคโครพ่าจมากกว่า UE5 เมื่อเซลล์นั้นได้รับเชื้อด้วยปริมาณแบคทีเรียที่เท่ากัน ลำหรับ A549 นั้น เมื่อได้รับเชื้อในปริมาณที่มากขึ้นจะพบว่าไม่มีผลต่อความอยู่รอดของเซลล์อย่างมีนัยสำคัญ

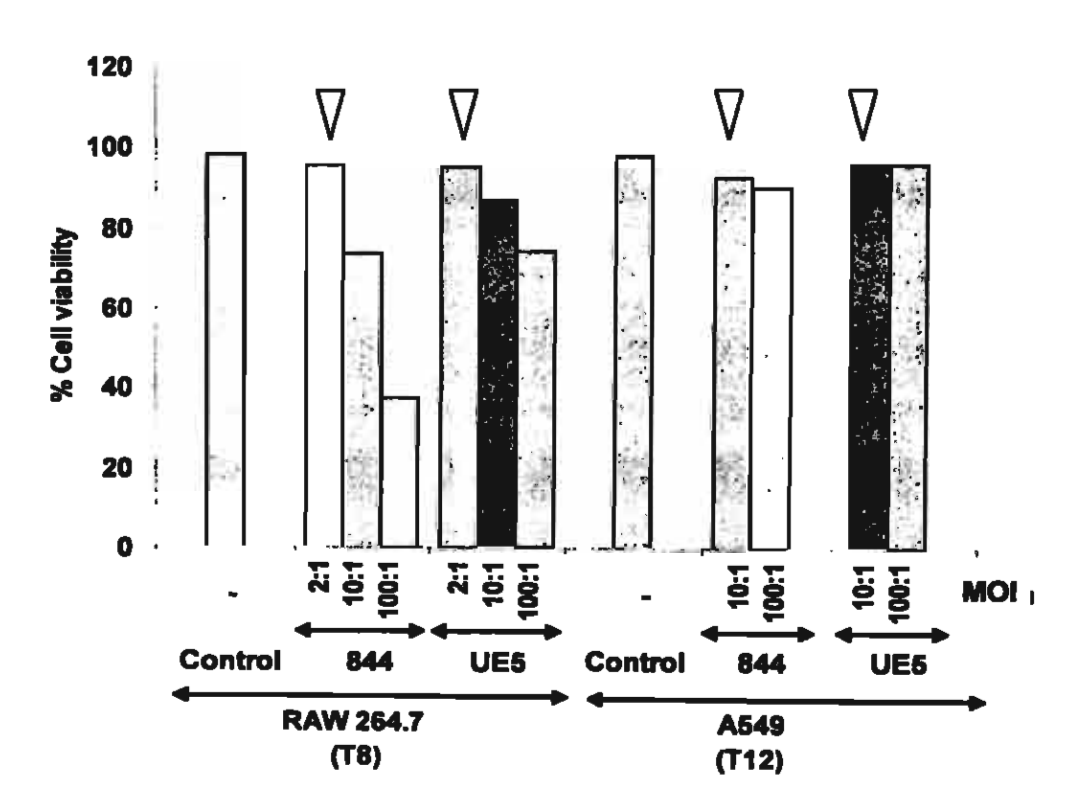


Figure 2. Cell viability of cells infected *B. pseudomallei* (844) and *B. thailandensis* (UE5). RAW264.7 and A549 cells were plated on 6-well plate the day before infection at the initial seeding of 1x10⁶ cells and 5x10⁷ cells, respectively. Cells were infected with *B. pseudomallei* (844) or *B. thailandensis* (UE5) at different MOI (MOI of 2.1, 10:1 and 100:1 for RAW264.7; MOI of 10:1 and 100:1 for A549). After 1 h of infection, cells were treated with kanamycin. At 8 h (for RAW264.7) and 12 h (for A549), cell viability was determined using trypan blue dye exclusion. Non-infected cells were performed as control.

3.3 การปล่อย lactate dehydrogenase (LDH) จากเชลล์ที่ได้รับเชื้อ B. pseudomailei

ผลการทดลองพบว่าหลังได้รับเชื้อ Burkholderia เป็นเวลาที่เห็น cell fusion หรือก่อนที่เซลล์จะแตกนั้น เซลล์มีการปล่อย LDH ออกมาหลังได้รับเชื้อ Burkholderia (Figure 3) โดย เซลล์ RAW264.7 ที่ถูก infect ด้วยเชื้อ B. pseudomailei (844) ที่ปริมาณต่างๆ คือ MOI 2:1, 20:1 และ 40:1 มีการปล่อย LDH คิดเป็น 4.7, 6 และ 8 เท่า ของปริมาณ LDH ที่ปล่อยออกมาจากเซลล์ที่ไม่ได้รับเชื้อ ตามลำดับ และเซลล์ที่ได้รับเชื้อ 844 นี้พบว่ามีการปล่อย LDH ออกมาในปริมาณที่มากกว่า LDH ที่ปล่อยจากเซลล์ที่ถูก infect ด้วย B. thailandensis (UE5) โดยที่ MOI 2:1, 20:1 และ 40:1 มีการปล่อย LDH คิดเป็น 2.8, 5 และ 6 เท่า ของปริมาณ LDH ที่ปล่อยออกมาจากเซลล์ที่ ใม่ได้รับเชื้อ ตามลำดับ

เมื่อติดตามช่วงเวลาของการปล่อย LDH จากเซลล์ RAW264.7ที่ได้รับเชื้อ 844 ที่ MOI 2:1 นั้นพบว่าหลัง ได้รับเชื้อเป็นเวลามากขึ้นก็จะพบการปล่อยของ LDH ที่เพิ่มขึ้น (Figure 4a) โดยเห็นการเปลี่ยนแปลงที่ชัดเจนหลัง เวลาที่ 4 ชั่วโมงขึ้นไป ส่วนเชื้อ UE5 นั้นทำให้เซลล์มีการปล่อย LDH ในปริมาณที่เพิ่มขึ้นเมื่อเวลาหลังการรับเชื้อ เพิ่มขึ้น แต่เป็นการเพิ่มในปริมาณที่น้อยกว่าการปล่อย LDH จากเซลล์ที่ได้รับเชื้อ 844

สำหรับเซลล์ A549 นั้น เมื่อติดตามช่วงเวลาของการปล่อย LDH จากเซลล์ที่ได้รับเชื้อ 844 ที่ MOI 10:1 เป็นเวลา 12 ชั่วโมง พบว่าสามารถวัดการปล่อย LDH ออกมาได้ชัดเจนที่เวลา 12 ชั่วโมง โดยคิดเป็นประมาณ 3 เท่าของปริมาณ LDH ที่ปล่อยออกมาจากเซลล์ที่ไม่ได้รับเชื้อและเซลล์ที่รับเชื้อ UE5 (Figure 4b)

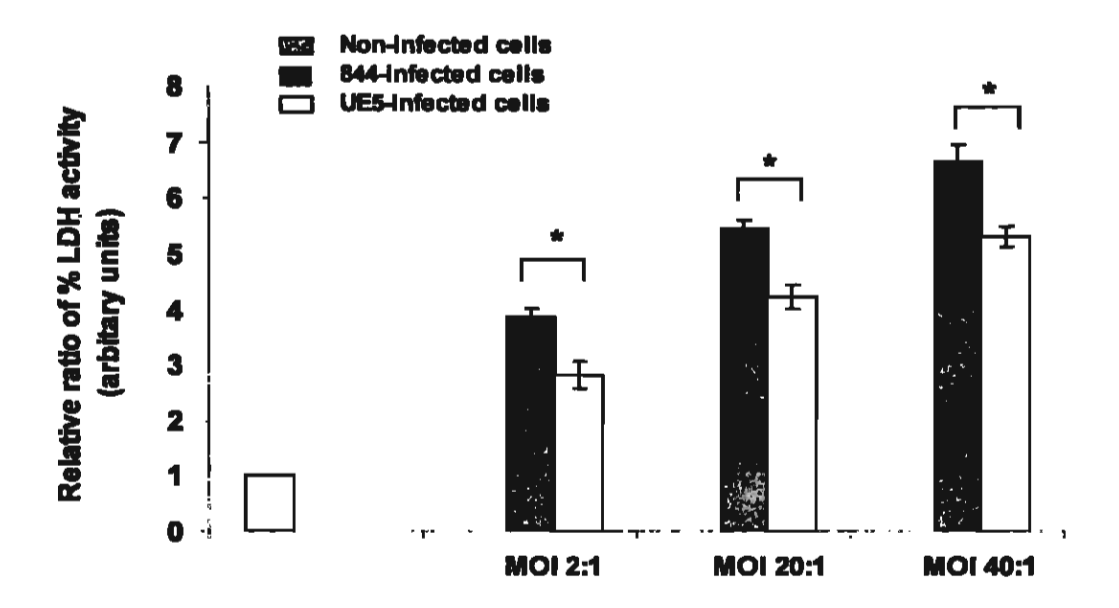
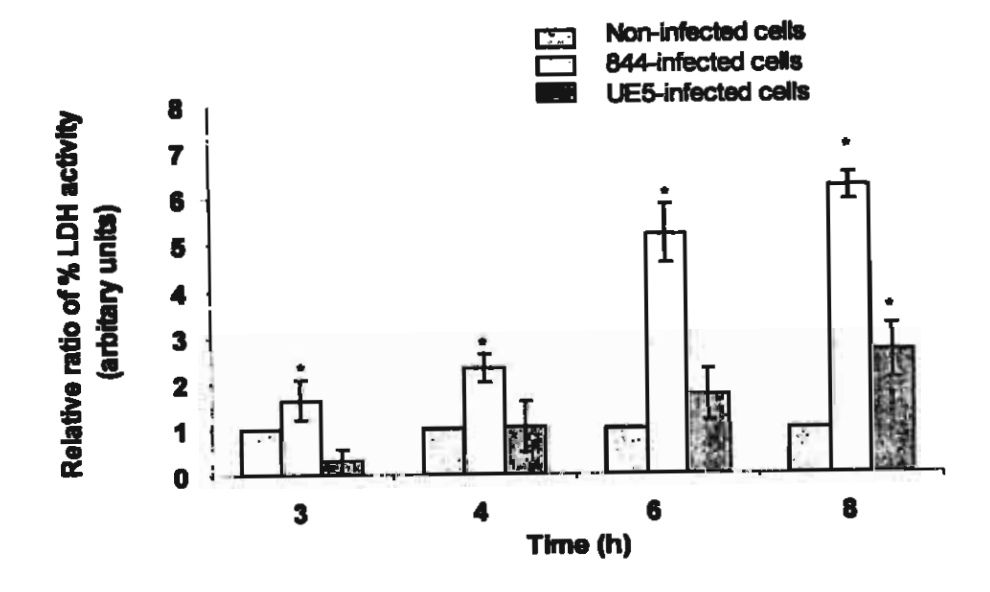


Figure 3. LDH release from macrophage (RAW264.7) cells infected with 844 and UE5. Cells were plated on 6-well plate the day before infection at the initial seeding of 1x10⁶ cells. Cells were infected with 844 or UE5 at different MOI (2:1, 20:1 and 40:1) for 1 h. After kanamycin treatment, cells were incubated until cell fusion was observed. Cell lysate and supernate were collected to determine LDH activity in cultured medium. Non-infected cells were performed as control. Data presented are means ± SEM for three separate experiments. *P<0.05 according to Student's t-test.

(a)



(b)

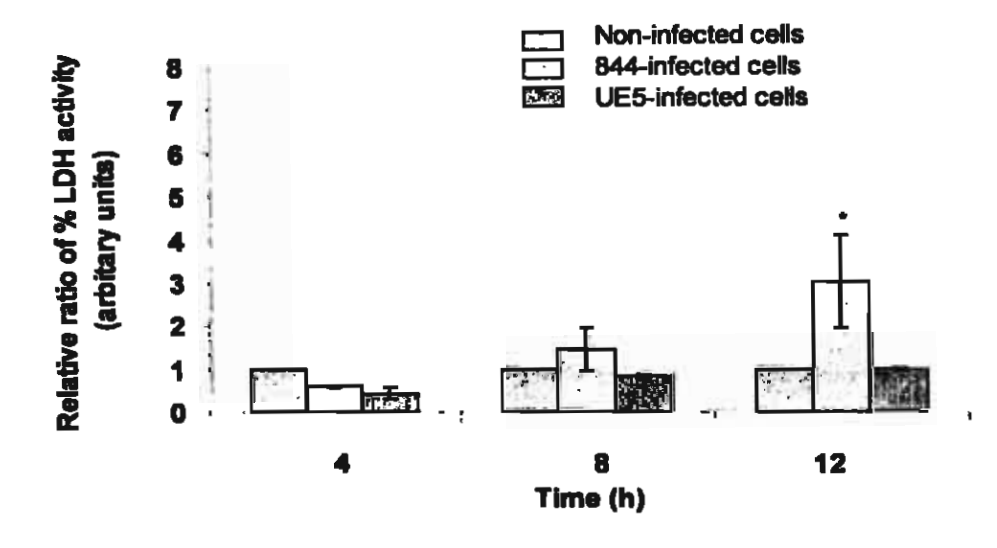


Figure 4. Change in the LDH activity from RAW264.7 (a) and A549 (b) cells infected with 844 and UE5 during the time course. RAW264.7 and A549 cells were plated on 6-well plate the day before infection at the initial seeding of 1x10⁶ cells and 5x10⁵ cells, respectively. Cells were infected with 844 or UE5 (MOI 2:1 for RAW264.7 and MOI 10:1 for A549) for 1 h. After kanamycin treatment, cells were incubated at interval time. Cell lysate and supernate were collected to determine LDH activity in cultured medium. Non-infected cells were performed as control. Data presented are means ± SEM for three separate experiments. * indicates significantly different from control at each time point, P<0.05 according to Student's t-test.

MRG4680057 13

3.4 การเปลี่ยนแปลงของ mitochondrial membrane potential (Δψ_m) ในเชลต์ที่ได้รับเชื้อ *B. pseudomaliei*

จากการทดลองพบว่า หลังจากที่เซลส์ RAW264.7 ได้รับเชื้อ 844 และ UE5 เป็นเวลาที่เห็น cell fusion และก่อนที่เซลล์จะแตกสลายนั้น ไมโตคอนเครียมีการสูญเสีย Δψ_m (Figure 5) โดยมีค่า 0.55 และ 0.68 เท่าของ เซลล์ที่ไม่ได้รับเชื้อ ตามลำดับ อย่างไรก็ตามไม่ตรวจพบการลดลงของ Δψ_m อย่างมีนัยสำคัญในเซลล์ A549 ที่ ได้รับเชื้อ 844 และ UE5

เมื่อติดตามช่วงเวลาของการลดลงของ ∆บุ ในเซลล์ RAW264.7ที่ได้รับเชื้อ 844 ที่ MOI 2:1 นั้น จะพบ การลดลงของ ∆บุ มากขึ้นหลังจากเซลล์ได้รับเชื้อเป็นระยะเวลามากขึ้น (Figure 6a) และลดลงอย่างรวดเร็วใน ช่วงเวลาหลังจากเซลล์ได้รับเชื้อ 6 ชั่วโมงขึ้นไป โดยลดลงจาก 0.77 เท่าของเซลล์ที่ไม่ได้รับเชื้อ ที่เวลา 6 ชั่วโมง เหลือ 0.55 เท่า ที่เวลา 8 ชั่วโมง ส่วนเชื้อ UE5 นั้นทำให้เซลล์สูญเสีย ∆บุ เช่นเดียวกันแต่ลดลงในระดับที่น้อย กว่าที่พบในเซลล์ที่ได้รับเชื้อ 844 คือ 0.85 และ 0.68 เท่า ของเซลล์ที่ไม่ได้รับเชื้อ ที่เวลา 6 และ 8 ชั่วโมง ตามลำดับ

ลำหรับเซลล์ A549 นั้น เมื่อติดตามช่วงเวลาของการลดลงของ Δψุ ในเซลล์ที่ได้รับเชื้อ 844 หรือ UE5 ที่ MOI 10:1 เป็นเวลา 12 ชั่วโมง พบว่าในช่วงเวลา 12 ชั่วโมงนั้น ระดับของ Δψุ ยังไม่ลดลงไปกว่า 0.75 เท่าของ เซลล์ที่ไม่ได้รับเชื้อ (Figure 6b)

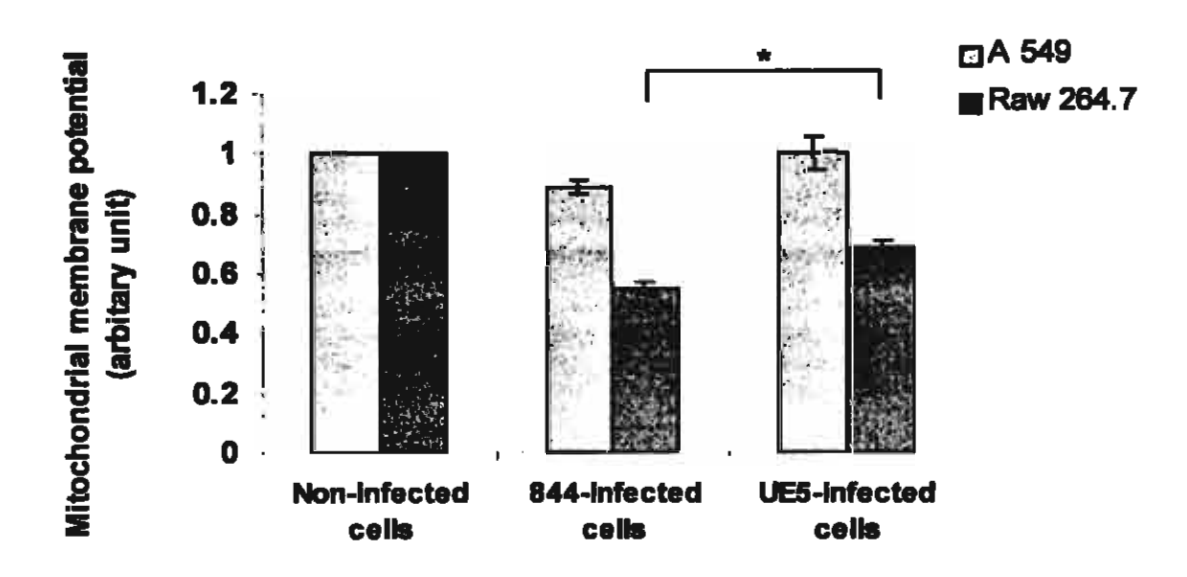


Figure 5. Detection of mitochondrial membrane potential from RAW264.7 and A549 cells infected with 844 and UE5. RAW264.7 and A549 cells were plated on 6-well plate the day before infection at the initial seeding of 1×10^6 cells and 5×10^5 cells, respectively. Cells were infected with 844 or UE5 (MOI 2:1 for RAW264.7 and MOI 10:1 for A549) for 1 h. After kanamycin treatment, RAW264.7 and A549 cells were incubated at 8 and 12 h, respectively. Cells were harvested and stained with JC-1. After a 15 min incubation, cells were washed and analyzed by fluorescence plate reader. The values of $\Delta\psi_m$ are expressed as the fluorescent-intensity ratio of red to green fluorescence. Non-infected cells were performed as control. Data presented are means \pm SEM for three separate experiments. *P<0.05 according to Student's t-test.

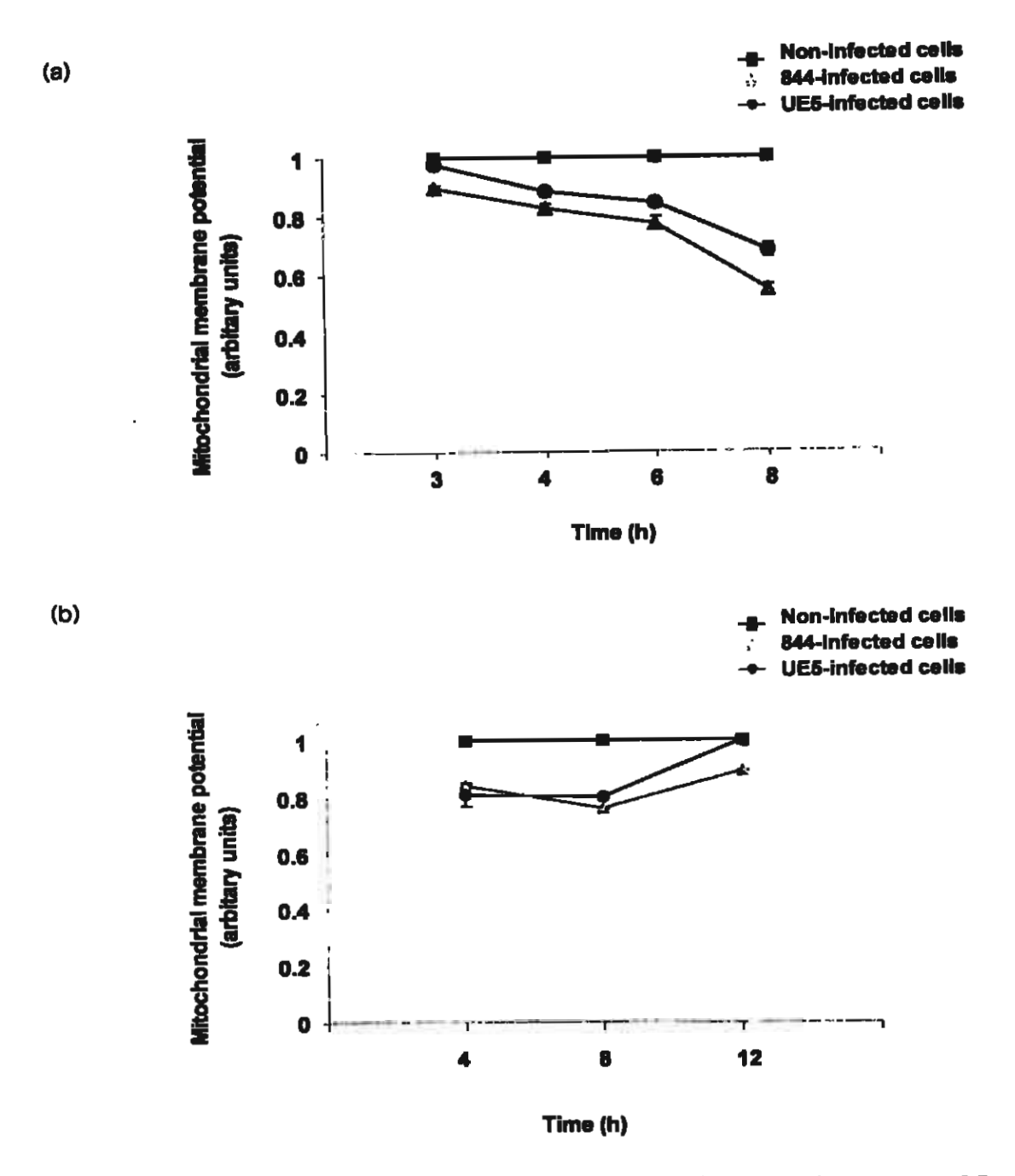


Figure 6. Change in the mitochondrial membrane potential during the time course of RAW264.7 (a) and A549 cells (b) infected with 844 and UE5. RAW264.7 and A549 cells were plated on 6-well plate the day before infection at the initial seeding of 1×10^6 cells and 5×10^5 cells, respectively. Cells were infected with 844 or UE5 (MOI 2:1 for RAW264.7 and MOI 10:1 for A549) for 1 h. After kanamycin treatment, RAW264.7 and A549 cells were incubated at desired time. For detection of $\Delta\psi_m$, cells were harvested and stained with JC-1. After a 15 min incubation, cells were washed and analyzed by fluorescence plate reader. Non-infected cells were performed as control. The values of $\Delta\psi_m$ are expressed as the fluorescent-intensity ratio of red to green fluorescence. The values of $\Delta\psi_m$ in non-infected (control) cells of either RAW264.7 or A549 were taken to be 1 and other values were expressed relative to that. Data of $\Delta\psi_m$ presented are means \pm SD for triplicate measurement from one experiment.

MRG4680057 16

3.5 การทำลายเชลล์ของเชื้ออาศัยเชื้อที่มีชีวิตและการเช้าสู่เชลล์ของเชื้อ

การที่เชื้อ *B. pseudomailei* ทำลายเชลล์ได้นั้นจะต้องอาศัยการมีชีวิตของเชื้อซึ่งจะเห็นได้จากการ ทดลองคือ เมื่อเชลล์ได้รับเชื้อ *B. pseudomailei* ที่ถูกฆ่าด้วยความร้อนที่ 100 °C เป็นเวลา 15 นาที ไม่มีผลต่อการ เปลี่ยนแปลงของระดับ LDH และ $\Delta \psi_m$ เมื่อเทียบกับในเชลล์ที่ไม่ได้รับเชื้อ แม้ว่าเชลล์จะได้รับเชื้อในปริมาณที่มาก ขึ้นก็ตาม (Figure 7)

เมื่อทำการ treat เขลล์ก่อนการได้รับเชื้อด้วย IFN-gamma เพื่อกระตุ้นให้เขลล์สามารถผลิต nitric oxide เพื่อม่าเชื้อแบคทีเรียที่อยู่ภายในเขลล์ พบว่าหาก treat เชลล์ด้วย IFN-gamma ที่ความเข้มข้นมากขึ้นจะทำให้เชลล์ มีการรั่วของ LDH ลดลง และทำให้ไมโตคอนเดรียสามารถรักษาระดับของ $\Delta \psi_n$ นอกจากนี้เมื่อทำการ treat เชลล์ ด้วย cytochalasin D จะพบว่าระดับการรั่วของ LDH มีค่าใกล้เคียงกับระดับการรั่วของ LDH ในเซลล์ที่ไม่ได้รับเชื้อ

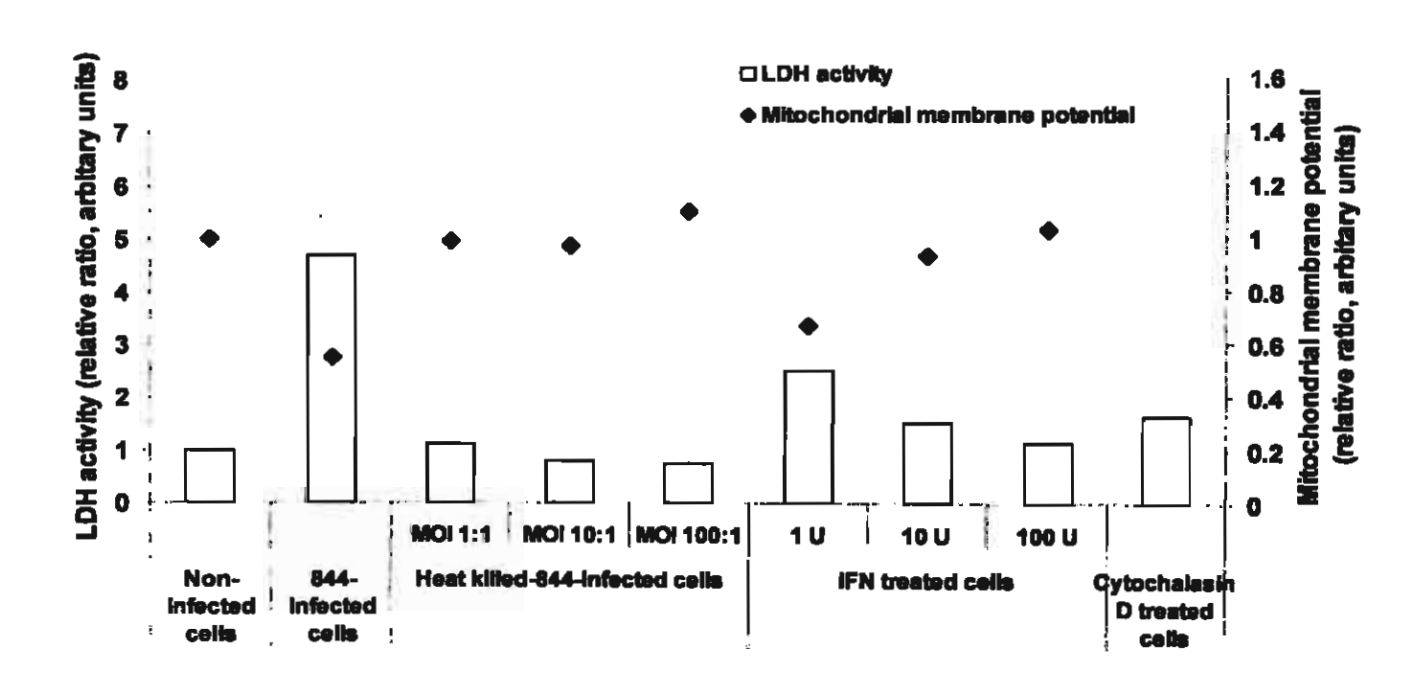


Figure 7. Effect of IFN-gamma, cytochalasin D and non-living bacteria to cell damage. RAW264.7 cells were plated on 6-well plate the day before infection at the initial seeding of 1×10^6 cells. For IFN-gamma treatment, cells were treated with IFN-gamma at the concentration of 1, 10, 100 units for overnight. Cells were infected with 844 at MOI 2:1 (for treated and untreated cells with IFN-gamma) or heat-killed 844 (at MOI 1:1, 10:1 and 100:1) for 1 h. For cytochalasin D treatment, cells were treated with 2 µg of cytochalasin D for 2 h before 1h-infection with 844 at MOI 2:1. After kanamycin treatment, at 8 h, cell lysate and supernate were collected to determine LDH activity and $\Delta\psi_m$. Non-infected cells were performed as control. The values of $\Delta\psi_m$ are expressed as the fluorescent-intensity ratio of red to green fluorescence. The values of %LDH activity and $\Delta\psi_m$ in non-infected (control) cells were taken to be 1 and other values were expressed relative to that.

MRG4680057 17

3.6 ผลของเชื้อ B. pseudomallei ต่อการรัวของ cytochrome c และการทำงานของ caspase-3

เนื่องจากงานวิจัยก่อนหน้านี้พบว่า B. pseudomallei สามารถกระตุ้นให้เขลล์เกิดการตายแบบ apoptosis ได้ ซึ่งอาจเกิดได้จากการที่ไมโตคอนเครียมีการเปลี่ยนแปลง และจากการทดลองในรายงานนี้พบว่าเชื้อ ชนิดนี้สามารถทำให้เซลล์เกิดการสูญเสียของ mitochondrial membrane potential ดังนั้นการตรวจสอบการรั่ว ของโมเลกุลหรือโปรตีนต่างๆจากไมโตคอนเครีย เช่น cytochrome c จะทำให้ขึ้นยันว่าเชื้อ B. pseudomallei ทำให้ เซลล์ตายโดยไปมีผลที่ไมโตคอนเครีย และการวัดการทำงานของ caspase-3 จะช่วยขึ้นยันว่าเชื้อชนิดนี้ทำให้เซลล์ ตายโดย apoptosis

จากการศึกษาพบว่าเซลล์แมคโครฟาจหลังได้รับเชื้อ 844 มีการรั่วของ cytochrome c (Figure 8) จาก ไมโตคอนเตรียออกมาสู่ cytosol ซึ่งตรวจพบโดยวิธี Western blot analysis นอกจากนั้นยังพบการทำงานของ เอ็นไซม์ caspase-3 (Figure 9) ในเซลล์ที่ได้รับเ ชื้อ 844 อย่างไรก็ตามจากผลการทดลองไม่พบการรั่วของ cytochrome c และการทำงานของเอ็นไซม์ caspase-3 จากเซลล์ที่ได้รับเชื้อ UE5

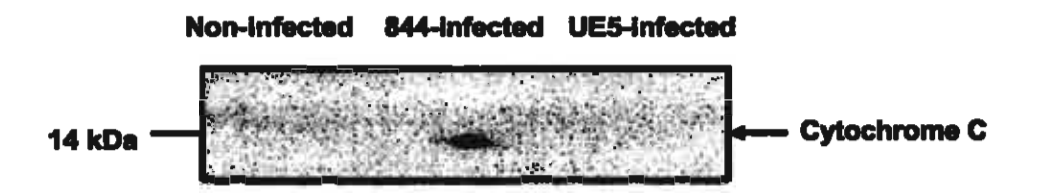


Figure 8. Cytochrome c release from the mitochondria of 844-infected RAW264.7 cells. Cells were plated on 6-well plate the day before infection at the initial seeding of 1x10⁶ cells. Cells were infected with either 844 or UE5 at MOI 2:1 for 1 h. After kanamycin treatment, cells were incubated for 8 h and cells were lysed. Cytosol protein was extracted and used to detect cytochrome c using western blot analysis.

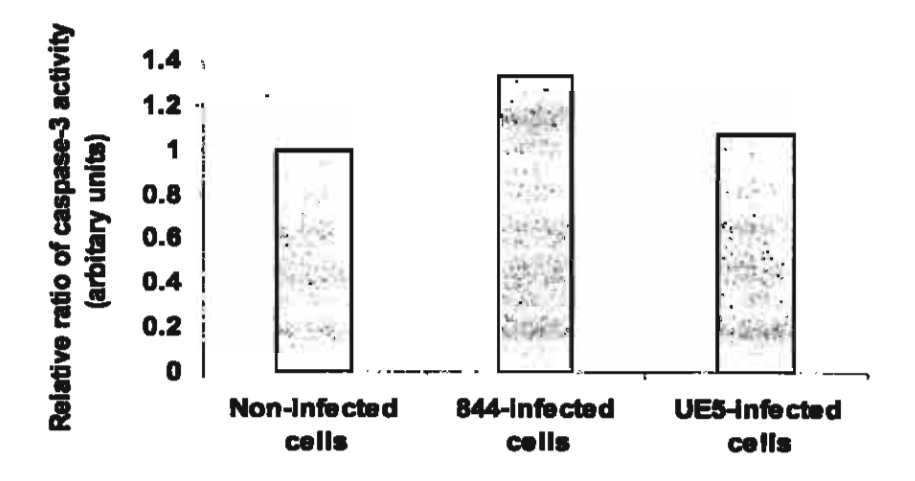


Figure 9. Activation of caspase-3 in 844-infected RAW264.7 cells. RAW264.7 cells were plated on 6-well plate the day before infection at the initial seeding of 1x10⁶ cells. Cells were infected with 844 at MOI 2:1 for 1 h. After kanamycin treatment, at 8 h, cells were harvested and caspase-3 activity was determined using BD ApoAlertTM Caspase Colorimetric Assay Kits. Non-infected cells were performed as control. The values of caspase-3 activity in non-infected (control) cells were taken to be 1 and other values were expressed relative to that.

4. สรุปและวิเคราะห์ผล

การศึกษาเกี่ยวกับการก่อให้เกิดโรคของ Burkholderia pseudomailei นั้น แม้จะมีการศึกษาทั้งทางอญู่ พันธุศาสตร์ ทางชีวเคมี และทางด้านอิมมูในวิทยาของเชื้อ แต่กลไกการหลบหลีกของเชื้อจากการถูกทำลายของ เชลล์แมคโครพ่าจและการตอบสนองของเซลล์ต่อเชื้อยังไม่เป็นที่ทราบกันดีนัก จากการศึกษาที่ผ่านมาของกลุ่ม วิจัย Kespichayawattana และคณะ (2000) พบว่าเซลล์ที่ได้รับเชื้อชนิดนี้มีการเปลี่ยนแปลงของเซลล์คือก่อให้เกิด cell fusion และ multinucleated giant cells ซึ่งจากการศึกษาในรายงานนี้ (Figure 1) ก็ได้ยืนยันผลงานวิจัยที่ ผ่านมา การเปลี่ยนแปลงของเซลล์นี้จะเห็นได้มากและเร็วขึ้น อีกทั้งความอยู่รอดของเซลล์ที่ได้รับเชื้อจะน้อยลงด้วย เมื่อเซลล์ได้รับเชื้อในบริมาณที่มากขึ้น (Figure 2) เมื่อเทียบกับเชื้อ B. pseudomailei สายพันธุ์ที่ก่อให้เกิดโรค (844) แล้ว เชื้อ B. thailandensis สายพันธุ์ UE5 ซึ่งเป็นเชื้อที่ไม่ก่อให้เกิดโรคนั้นสามารถทำให้ทำให้เซลล์แมคโคร ฟาจ (RAW264.7) เกิดการตายได้เช่นเดียวกันหากได้รับเชื้อในปริมาณที่มาก อย่างไรก็ตามความรุนแรงจะน้อยกว่า เชื้อที่ก่อให้เกิดโรค การทดลองใน non-phagocytic cells (A549) พบว่าเซลล์ที่ได้รับเชื้อทั้งลองชนิดมีอัตราการ รอดชีวิตสูงแม้จะเพิ่มปริมาณเชื้อแล้วก็ตาม ทั้งนี้เนื่องจากเชื้อแบคทีเรียลามารถเข้าไปในเซลล์ได้น้อยเมื่อเทียบกับ เซลล์แมคโครฟาจซึ่งมีความสามารถในด้าน phagocytosis

จากการศึกษาในรายงานนี้พบว่าที่ปริมาณเชื้อต่อเซลล์ (MOI; multiplicity of infection) ที่เหมาะสม ที่ทำ ให้เซลล์ที่ได้รับเชื้อยังมีเปอร์เซ็นต์ความอยู่รอดสูง (มากกว่า 90% cell viability) คือ ที่ MOI 2:1 ลำหรับ RAW264.7 และ MOI 10:1 ลำหรับ A549 (Figure 2) เมื่อศึกษาการตอบสนองของเซลล์ที่ได้รับเชื้อในปริมาณที่ เหมาะสมพบว่าเชื้อ B. pseudomallei ทำให้เซลล์เกิดความเป็นพิษขึ้น โดยวัดจากการที่เซลล์มีปล่อย LDH ออกมา และความเป็นพิษนี้มีมากกว่าในเซลล์ที่ได้รับเชื้อ B. thailandensis ในขณะที่เซลล์ที่ได้รับเชื้อทั้งสองชนิดนี้มี เปอร์เซ็นต์การอยู่รอดที่สูง ดังนั้นจึงอาจกล่าวได้ว่าการปล่อย LDH จากเซลล์ เป็น indicator ของ cell damage นอกจากนี้ปริมาณ LDH ที่หลังออกมายังขึ้นอยู่กับปริมาณเชื้อที่ได้รับ (Figure 3) โดยปริมาณ LDH จะถูกปล่อย มากขึ้นเมื่อเซลล์ได้รับเชื้อในปริมาณที่สูงขึ้น ซึ่งเป็นผลให้เซลล์ถูกทำลายและตายมากขึ้น ปริมาณ LDH ที่ถูกปล่อย ออกมายังขึ้นกับเวลาหลังการได้รับเชื้อและชนิดของเซลล์ที่ได้รับเชื้อด้วย จากการทดลองพบว่าแมคโครฟาจที่ถูก infect ด้วยแบคทีเรีย มีการปล่อย LDH ออกมาได้ในปริมาณที่มากกว่า epithelial cells ทั้งนี้อาจเป็นผลมาจากการ ที่แมคโครฟาจ มีความสามารถในการ phagocytose แบคทีเรีย ได้ดีกว่า epithelial cells ซึ่งเป็นเซลล์ชนิด non-phagocytic cells ทำให้จำนวนแบคทีเรียภายใน phagocytic cells มีสูงกว่า non-phagocytic cells ที่ได้รับเชื้อใน MOI ที่เท่ากัน (Figure 4)

การตายของเซลล์สามารถแบ่งได้เป็น การตายแบบ necrosis ซึ่งเป็นการตายแบบเฉียบพลัน โดยเซลล์จะ เกิดการบวมและเยื่อหุ้มเซลล์แตก และการตายแบบ apoptosis (programmed cell death) ซึ่งเซลล์ที่ตายแบบนี้ จะมีการหดตัวและกลายเป็น apoptotic body โดยที่ organelles ต่างๆยังคงอยู่ เซลล์หลายชนิดสามารถเกิดการ ตายแบบ apoptosis หากได้รับสิ่งเร้าจากภายนอก เช่น การชาดอาหารหรือการได้รับ pathogen ต่างๆ ซึ่งจะไป กระตุ้น death receptor บนผิวเซลล์ เป็นผลทำให้ initiator caspases (caspase-2, -8 และ -10) ทำงาน และ กระตุ้นให้เกิดการทำงานของ effector caspases (caspase-3, -6 และ -7) หรือกระตุ้นการทำงานของโปรตีนที่ไป มีผลต่อเยื่อหุ้มเซลล์ของไมโตคอนเดรีย นอกจากนี้สิ่งเร้าจากภายในเซลล์ เช่น การเกิดของ oxidative stress เป็น ดัน ยังส่งผลให้เยื่อหุ้มเซลล์ของไมโตคอนเดรียมีการเปลี่ยนแปลงด้วยโดยจะไปทำให้มีการสูญเสีย Δψ_m ซึ่งมีผลทำ ให้มีการรัวของโมเลกุลหรือโปรตีนต่างๆจากไมโตคอนเดรีย เช่น cytochrome c และ cytochrome c จะรวมตัวกับ

โปรตีน Apaf-1 และ procaspase-9 เป็น apoptosome และกระตุ้นให้ caspase-9 ทำงานได้ โดยมี dATP/ATP เป็นตัวช่วย ซึ่งหากมีการลดลงของ ∆พุ่ และ ATP เป็นอย่างมากจะทำให้เกิดการตายของเขลล์แบบ necrosis ได้ การทำงานของ caspase-9 จะไปกระตุ้นให้ effector caspases ทำงานได้ ส่งผลให้เกิดการทำลายของ DNA และ เซลล์จะเกิดเป็น apoptotic body ในที่สุด ซึ่งจะถูกจับกินโดย phagocyte ต่อไป

จากการตรวจสอบการเปลี่ยนแปลงของไมโตคอนเดรียในเชลล์ที่ได้รับเชื้อ พบว่าการเปลี่ยนแปลงระดับ ของ Δψ_m ในเชลล์ที่ได้รับเชื้อ B. pseudomallei และ B. thailandensis โดย B. pseudomallei ทำให้ ไมโตคอนเดรียมีการเปลี่ยนแปลงได้มากกว่า และการเปลี่ยนแปลงนี้นอกจากจะขึ้นอยู่กับเวลาที่ได้รับเชื้อและชนิดของเชื้อ แล้ว ยังขึ้นอยู่กับขนิดของเชลล์ที่ได้รับเชื้อด้วย (Figure 5 และ Figure 6) ทั้งนี้การทำลายเชลล์ของ B. pseudomallei ทั้งที่ทำให้ไมโตคอนเดรียมีการเปลี่ยนแปลงและที่ทำให้เชลล์มีความเป็นพิษ ยังขึ้นกับการมีชีวิต ของเชื้อ ดังจะพบได้จาก Figure 7 คือเมื่อเชลล์ได้รับเชื้อที่ถูกล่าด้วยความร้อนหรือเชลล์ที่ถูก treat ด้วย IFN-gamma ก่อนการได้รับเชื้อที่มีชีวิต พบว่าเชลล์สามารถรักษาระดับของ LDH และ Δψ_m ให้คงที่ได้

การเปลี่ยนแปลงของไมโตคอนเครียนั้น หากมีการสูญเสีย $\Delta \psi_m$ มากจะทำให้เซลล์เกิดการตายแบบ necrosis โดยสามารถวัดได้จากการหลั่งของ LDH ขอกมานอกเซลล์ หรือการเสียสภาพของเยื่อหุ้มเซลล์ อย่างไรก็ ตามการพบว่า เซลล์ที่ได้รับเขื้อ B. pseudomallei สามารถพบการรั่วยอกมาของ cytochrome c จากไมโตคอนเครียออกสู่ cytosol (Figure 8) และการทำงานของ caspase-3 (Figure 9) ซึ่งนำไปสู่การตายของเซลล์แบบ apoptosis ด้วย ทำให้สามารถยืนยันได้กับงานวิจัยก่อนหน้านี้ที่พบการเกิด DNA fragmentation และลักษณะของ apoptotic bodies (Kespichayawattana et al. 2000) ดังนั้นอาจจะสรุปได้ว่าการเกิด apoptosis นี้ ส่วนหนึ่งนั้น มาจากการเปลี่ยนแปลงหน้าที่ของไมโตคอนเดรีย และกลไกหนึ่งที่เชื้อสามารถก่อให้เกิดโรคได้คือการกระคุ้นให้ host cells เกิด apoptosis โดยเชื้อจะถูกกักอยู่ใน apoptotic bodies และเมื่อ phagocytes อื่นจับกินเซลล์จับกิน เซลล์ที่ตายแล้วนี้ จะทำให้เชื้อสามารถแพร่กระจายไปยังเซลล์บริเวณอื่นๆ ซึ่งอาจเป็นสาเหตุที่ทำให้เชื้อสามารถเก่อให้เกิดโรคในที่สุด อีกประการหนึ่งคือ การพบว่าในขณะที่เซลล์ยังมีเปอร์เซ็นต์ความอยู่รอดสูง แต่มีการ เปลี่ยนแปลงทางชีวเคมีที่จะนำไปสู่การเกิด apoptosis นั้น อาจเป็นไปได้ว่าเซลล์ delay การเกิด necrosis ซึ่งมี รายงานพบได้ในเซลล์แมคโครฟาจที่ติดเชื้อ Listeria monocytogenes โดยเชื้อจาศัยเซลล์ที่มีลักษณะของ "pseudo-healthy" ในการหลบหลีกการถูกทำลายจาก phagocytes ชนิดอื่นๆ (Barsig and Kaufmann, 1997) ดังนั้นจึงเป็นสาเหตุที่ทำให้เชื้อแบคทีเรียสามารถมีชีวิตอยู่รอดภายในเซลล์ได้

5. References

Barsig J, Kaufmann SH (1997) The mechanism of cell death in Listeria monocytogenes-infected murine macrophages is distinct from apoptosis. Infect. Immun. 65(10): 4075-4081.

Chaowagul W, White NJ, Dance DA, Wattanagoon Y, Naigowit P, Davis TM, Looareesuwan S, Pitakwatchara N. (1989) Melioidosis: a major cause of community-acquired septicemia in northeastem Thailand, J Infect Dis. 159(5):890-9.

Howe C, Sampath A, Spotnitz M. (1971) The pseudomallei group: a review. Infect Dis. 124(6):598-606.

Jarvelainen HA, Galmiche A, Zychlinsky A. (2003) Caspase-1 activation by Salmonella. Trends Cell Biol.13(4):204-209.

Jones AL, Beveridge TJ, Woods DE. (1996) Intracellular survival of Burkholderia pseudomallei. Infect Immun. 64(3):782-90.

Kespichayawattana W, Rattanachetkul S, Wanun T, Utaisincharoen P, Sirisinha S. (2000) Burkholderia pseudomallei induces cell fusion and actin-associated membrane protrusion: a possible mechanism for cell-to-cell spreading. Infect Immun. 68(9):5377-84.

Leelarasamee A, Bovornkitti S. (1989) Melioidosis: review and update. Rev Infect Dis. 11(3):413-25.

Mays EE, Ricketts EA. (1975) Melioidosis: recrudescence associated with bronchogenic carcinoma twenty-six years following initial geographic exposure. Chest. 68(2):261-3.

Mignotte B, Vayssiere JL. (1998) Mitochondria and apoptosis. Eur J Biochem. 252(1):1-15.

Navarre WW, Zychlinsky A. (2000) Pathogen-induced apoptosis of macrophages: a common end for different pathogenic strategies. Cell Microbiol. 2(4):265-73.

Pruksachartvuthi S, Aswapokee N, Thankerngpol K. (1990) Survival of Pseudomonas pseudomallei in human phagocytes. J Med Microbiol. 31(2):109-14.

Utaisincharoen P. Tangthawornchaikul N. Kespichayawattana W., Chaisuriya P. Sirisinha S. (2001) Burkholderia pseudomallei interferes with inducible nitric oxide synthase (iNOS) production: a possible mechanism of evading macrophage killing. Microbiol. Immunol. 45(4): 307-313.

Yabuuchi E, Arakawa M. (1993) Burkholderia pseudomallei and melloidosis: be aware in temperate area. Microbiol Immunol. 37(11):823-36.

Output ที่ได้จากโครงการ

Nuchtas A, Thisayathiko, B and Lengwehasattt I (2004) The study of cellular response in *Burkholderia* pseudomallei-infected cells. The fifth science project exhibition, March, 2004. Faculty of Science, Mahidol University, Thailand (Poster-Abstract in English and Thai, BT-24).

Utaisincharoen P, Anuntagool N, Arjcharoen S, Lengwehasatit I, Limposuwan K, Chaisuriya P, Sirisinha S. (2004) *Burkholderia pseudomallei* stimulates low interleukin-8 production in the human lung epithelial cell line A549. Clin. Exp. Immunol. 138(1): 61-65.

Boonyos P, Kullavanijaya K and Lengwehasatit I (2005) The study of apoptosis in Burkholderia pseudomallei-infected cells. The sixth science project exhibition. March 15, 2005. Faculty of Science, Mahidol University, Thailand (Poster-Abstract In English and Thai, BT-05 p138-p139).

Utaisincharoen P, Arjcharoen S, Lengwehasatit I, Limposuwan K, Sirisinha S. (2005) *Burkholderia* pseudomallei invasion and activation of epithelial cells requires activation of p38 mitogen-activated protein kinase. Microb Pathog. 38(2-3):107-12.

Lengwehasatit I and Utaisincharoen P (2005) Study of mitochondrial function of the cells infected with *Burkholderia pseudomallei*. Thailand Research Fund Meeting. January 14-16, 2005, Kanchanaburee, Thailand (Poster-Abstract in English, MRG057 p115).

Cell damage by *Burkholderia pseudomallei* requires internalization and living bacteria. Micobial. Pathog. (Manuscript in preparation)

ภาคผนวก

MRG4680057 25

ผู้อธิบายโครงงานวิจัย นางสาวอโนชา นุชเทศ และนางสาวโบ พิษยาธิคม ภาควิชาเทคโนโลยีชีวภาพ คณะวิทยาศาสตร์ มหาวิทยาลัยมหิดล

การศึกษาการตอบสนองของเซลล์ที่ได้รับเชื้อ Burkholderia pseudomallei อโนชา บุชเทศ, โบ ติษยาธิคม, และ อิษฎา เล่งเวหาสถิตย์

Burkholderia pseudomallei (B. pseudomallei) เป็นแบคทีเรียแกรมลบที่เป็นสาเหตุให้เกิดโรค Melioidosis ซึ่งเชื้อชนิดนี้สามารถพบได้ทั่วไปในธรรมชาติ เช่น ในดิน โคลน แหล่งน้ำนึ่ง และนาข้าว จาก รายงานวิจัยที่ผ่านมาพบว่า โดยส่วนใหญ่เชื้อนี้สามารถเข้าสู่ร่างกายคนทางบาดแผล และเข้าสู่กระแสเลือด เป็นผล ให้ผู้ป่วยมีอาการใข้สูง ซึ่งอาจเกิดจากสารพิษที่ตัวเชื้อปล่อยออกมา รวมทั้งเกิดจากการที่ร่างกายพยายามสร้างภูมิ ด้านทานขึ้นในกระแสเลือด แต่เนื่องจากเชื้อนี้มีการกระตุ้นกลไกนื้อย่างแรง ส่งผลให้ร่างกายหลั่งสารด้านทาน ออกมามากเกินไป จึงทำให้ผู้ป่วยเกิดอาการช็อก และเสียชีวิตในที่สุด

การศึกษาการเปลี่ยนแปลงของเซลล์ที่ได้รับเชื้อ B. pseudomallei ในระดับโมเลกุลจะช่วยให้เข้าใจ กลไกการเกิดโรคและการตอบสนองของเซลล์ต่อเชื้อแบคทีเรียชนิดนี้ได้ งานวิจัยนี้จึงได้ทำการตรวจสอบการรั่ว ของ cytochrome C จากไมโตคอนเครีย ซึ่งเชื่อมโยงสัญญาณภายนอกและภายในเซลล์ และเป็นสาเหตุหนึ่งของ การตายของเซลล์แบบ Apoptosis นอกจากนี้ยังทำการตรวจสอบความเป็นพิษของเซลล์ (Cytotoxicity) เมื่อได้รับ เชื้อโดยวัดระดับการเปลี่ยนแปลงของ Key enzyme (Lactate dehydrogenase, LDH)

ผลการทดลองพบว่า เซลล์ที่ได้รับเชื้อ *B. pscudomallei* นั้น ไม่มีการรั่วของ cytochrome C แม้จะมี รายงานถึงการเกิด Apoptosis โดยเชื้อชนิดนี้ก็ตาม (Kespichayawattana et al., 2000) จึงเป็นไปได้ว่าการเกิด Apoptosis นั้นอาลเกิดมาจากปัจจัยอื่นที่ไม่ใช่จากการรั่วของ cytochrome C อย่างไรก็ตามเซลล์ที่ได้รับเชื้อนี้มีการ ปลดปล่อย LDH ออกมานอกเซลล์ ซึ่งการเปลี่ยนแปลงนี้อาจเป็นการตอบสนองเบื้องต้นของเซลล์ที่บาดเจ็บ

^{ื่}อาจารย์ที่ปรึกษา: ดร. อิษฎา เล่งเวหาสถึดย์ (scilw@mahidol.ac.th) ภาควิชาเทคในใลยีชีวภาพ คณะวิทยาศาสตร์ มหาวิทยาลัยมหิดล

Presenters
Miss Anocha Nuchtas, Miss Bo Thisayatikom
Department of Biotechnology. Faculty of Science. Mahidol University

The Study of Cellular Response in *Burkholderia pseudomallei* – Infected Cells

Anocha Nuchtas, Bo Thisayatikom, and Idsada Lengwehasatit

Burkholderia pseudomallei (B. pseudomallei), the causative agent of melioidsis, is a saprophytic gram negative rod bacteria found in environment such as soil, mud, water, and paddy field. This organism can infect humans and animals via inhalation of contaminated dust particles or by wounds resulting in acute septicemia, with high fever symptom. This infection affects various organs throughout the body and leads to death within a few days if host defense mechanism relapses.

However, how host cells interact with *B. pseudomallei* is not fully known. Studying cellular response of infected cells at the molecular level will provide us information to understand the pathogenesis of *B. pseudomallei*. This study focused on the detection of the cytochrome C release from mitochondria, involving in the progression of cell death by apoptosis. Cytotoxicity was also determined by measuring the level of the key enzyme, lactate dehydrogenase, LDH.

The results showed that cytochrome C release was not found in infected cells in this experiment. Although *B. pseudomallei* was reported to cause cell death by apoptosis (Kespichayawattana et al., 2000), it should be noted that apoptosis can be activated by another pathway. However, cytotoxicity was detectable as LDH activity increased in cultured medium of infected cells. This result implies that change in LDH level is an early response of injured cells indicating that cells are damaged.

References:

- 1. Leelarasamee A, and Bovornkitti S. 2001. Melioidosis-An Infectiion Hazard to Travelers Visiting Endemic Areas. Intern Med J Thai. 17 (2):85-87.
- Kespichayawattana, W., Rattanachetkul, S., Wanun T., Utaisincharoen, P., and Sirisinha, S. 2000. Burkholderia pseudomallei induces cell fusion and actin-associated membrane protusion: a possible mechanism for cell-to-cell spreading. Infection and Immunity. 68 (9): 5377-5384.

INDEX KEY WORDS: B. pseudomallei, cytochrome C, LDH, Melioidosis, Apoptosis

Burkholderia pseudomallei stimulates low interleukin-8 production in the human lung epithelial cell line A549

P. UTAISINCHAROEN*, N. ANUNTAGOOL†, S. ARICHAROEN*, I. LENGWEHASATTT‡, K. LIMPOSUWAN*, P. CHAISURIYA† & S. SIRISINHA* *Department of Microbiology, Faculty of Science, Mahidol University, Bangkok, Thailand, †Laboratory of Immunology, Chulabhorn Research Institute, Bangkok, Thailand, and ‡Department of Biotechnology, Faculty of Science, Mahidol University, Bangkok, Thailand

(Accepted for publication 19 July 2004)

SUMMARY

Melioidosis is a life-threatening disease caused by Burkholderia pseudomallei. The lung is the most commonly affected organ, resulting in abscess formation in patients with chronic melioidosis. Previous study has shown that B. pseudomallei was able to invade and multiply in epithelial cells. In the present study, we have demonstrated that B. pseudomallei is able to stimulate interleukin 8 (IL-8) production from the human alveolar lung epithelium cell line A549. However, the level of IL-8 production was significantly lower than when the cells were infected with other Gram-negative bacteria such as Sulmonella enterical serowar Typhi (S. typhi) which were used for comparison. The degree of $1\kappa B\alpha$ degradation in the B. pseudomallei-infected cells was lower than that of the S. typhi-infected cells, suggesting that B. pseudomallei is also a poorer cell activator. Inhibition of B. pseudomallei invarion by cytochalasin D did not interfere with either IL-8 production or $1\kappa B\alpha$ degradation, indicating that bacterial uptake is not required for the production of this chemokine. Thus, it appears that the signalling initiated by the interaction of B. pseudomallei with the epithelial cell surface is sufficient for epithelial cell activation.

Keywords Burkholderia pseudomallei human lung epithelial cell IxBa IL-8 melioidosis

INTRODUCTION

Melioidosis is an important cause of sepsis in several tropical areas, including South-east Asia and northern Australia [1,2]. In humans, the disease is usually acquired by skin inoculation or inhalation of the dust contaminated with Burkholderia pseudomallei. The clinical features vary from an acute fulminate septicaemia to chronic debilitating localized infection [1]. Abscess formation can be found in any organ, with lung as the most commonly affected organ in those with chronic melioidosis [3,4]. The patients often present themselves with cough and fever as a result of primary lung abscess or secondary to septicaemia spread.

B. pseudomallei is a facultative intracellular Gram-negative bacillus which can survive and multiply in both phagocytic and non-phagocytic cells [5]. After internalization, the bacteria can escape from membrane-bound phagosome into the cytoplasm [5,6]. Internalized B. pseudomallei can also induce a cell-to-cell fusion, resulting in a multinucleated giant cell (MNGC) formation [6,7]. This unique phenomenon, which has never been observed in any other bacteria, thus facilitates the spreading of bacterium

from one cell to another [7]. The presence of MNGC has also been observed in the tissues of patients with melioidosis [8].

The mechanism by which B. pseudomallei is able to escape host defence is not fully understood. However, we have reported previously that the macrophages infected with this bacterium failed to produce inducible nitric oxide synthase (iNOS), which is a key enzyme in antibacterial activity of the macrophages [9]. Moreover, unlike other Gram-negative bacterium, including the prototype S typhi that has been studied more extensively in the macrophages infected with R. pseudomallei, produced significantly less cytokines such as tumour necrosis factor-alpha (TNF) a) or beta interferon (IFN-B) [9,10]. These features may facilitate the bacteria to survive inside the macrophages. In contrast to the phagocytic cells, very little information is currently available for the cytokine response in the non-phagocytic cells infected with Bpseudomallei. In the present study, we investigated the production of interleukin 8 (IL-8) from B. pseudomallei-infected human lung epithelial cells.

MATERIALS AND METHODS

Bacterial isolation

B pseudomaller strain 844 used in this study was isolated originally from a patient admitted to Srinagarind Hospital in the

Correspondence: P. Utaisincharoen, Department of Microbiology, Faculty of Science, Mahidol University, Bangkok 10400, Thailand F-mail, separ@mahidol.ac.th

9 2004 Blackwell Publishing Ltd.

61

melioidosis-endemic Khon Kaen province of Thailand. The bacterium was identified originally as *B. pseudomallei* based on its biochemical characteristics, colonial morphology on selective media, antibiotic sensitivity profiles and reaction with polyclonal antibody [11-13] and was used in our previous reports [9,10] *Salmonella enterica* serovar Typhi (*S. typhi*) used for comparative study were maintained at Ramathibodi Hospital (Mahidol University, Bangkok, Thailand) and kept as a stock culture in our laboratory. For use in the experiments, the bacteria were cultured in Trypticase soy broth at 37°C with shaking at 120 r.p.m. The overnight cultures were washed twice in phosphate-buffered saline (PBS) and adjusted to a desired concentration by measurement of the optical density at 650 nm and the colony-forming unit (CFU) was calculated from the precalibrated standard curve.

Infection of human lung epithelial cell (A549)

Human lung epithelial cell line (A549) used in the experiments was obtained from American Type Culture Collection (ATCC, Rockville, MD, USA). The cells were cultured in Ham's F-12 (HyClone, Logan, UT) supplemented with 10% (etal bovine serum (FBS) (GIBCO Laboratories, Grand Island, NY, USA) at 37°C and 5% CO₂ atmosphere. If not indicated otherwise, these cells (5 × 10°) were cultured in a six-well plate overnight before exposure to the bacteria at a multiplicity of infection (MOI) of 10:1 for 2 h. To remove extracellular bacteria, the cells were washed three times with 2 ml of PBS before replacing with the medium containing 250 $\mu g/ml$ kanamycin (GIBCO Laboratories). At the time indicated, the cells were lysed and subjected to immunoblotting while the supernatant was used for IL-8 analysis.

Bacterial uptake (internalization)

A standard antibiotic protection assay was performed to determine the degree of bacterial internalization by human lung epithelial cell line. After the infected cells were incubated in the medium containing 250 µg/ml of kanamycin for 1 h, the cells were washed three times with PBS and intracellular bacteria were liberated by lysing the cells with 0-1%. Triton X-100 and plating the released bacteria in tryptic soy agar. The number of intracellular bacteria expressed as colony forming units (CFU), was determined by bacterial colony counting.

Reverse transcriptuse-polymerase chain reaction (RT-PCR) Total RNA was extracted from the infected cells according to the manufacturer's instructions (Eppendorf, Hamburg, Germany) before being used for cDNA synthesis by cMaster RT Enzyme (Eppendorf). The PCR reaction was conducted using cDNA as template for II.-8 and actin and amplified by Tuq DNA polymerase (Invitrogen, Carlsbad, CA, USA). The primers for II.-8 were sense 5' ATG ACT TCC AAG CTG GCC GTG GCT-3', antisense 5' ATG ACT TCC AAG CTG TCT TCA AAA ACT TCT C-3' and those for actin were: sense 5'-TGG CAT TGT TAC CAA CTG GGA CG-3', antisense 5'-GCT TCT CTI TGA FGT CAC GCA CG-3'. The amplified products were electrophoresed on 1-8"a agarose gel and stained with ethidium bromide before being visualized under an ultraviolet lamp

Immunoblotting

At time intervals, the intected cells were lysed in buffer containing 20 mm. Iris, 100 mm. Nat I and 1% NP40. The lysates containing 30 μg of protein were electrophoresed using 10% polyacrylamide and were then electrotransferred onto nitrocellulose

membrane (Schleicher & Schuell, Dassel, Germany). The membrane was blocked with 5% milk for 1 h before incubating overnight with polyclonal rabbit antibody to $I \times B \alpha$ (Santa Cruz, Santa Cruz, CA, USA). Blots were then reacted with horseradish peroxidase-conjugated swine antirabbit IgG (Dako, Glostrup, Denmark). Protein bands were detected with an enhanced chemiluminescence kit (Roche Diagnostic, Mannheim, Germany).

Enzyme-linked immunosorbent assay (ELISA)

The concentrations of IL-8 in the supernatant of infected lung epithelial cells were measured using an ELISA kit (BD Biosciences, San Diego, CA, USA). The sensitivity of the assay system was 50 U/ml.

Statistical analysis

If not indicated otherwise, all experiments carried out in this study were conducted at least three times. The data shown are representative results. Experimental values are expressed as mean ± standard errors. The statistical significance of differences between two means was evaluated by Student's *t*-test, and a *P*-value ≤0-01 was considered significant.

RESULTS

The quantity of IL-8 produced by the cells infected with either *B. pseudomallei* or *S. typhi* correlated with the MOI used (Fig. 1). However, comparing with *S. typhi*, the level of IL-8 induced by *B. pseudomallei* was significantly lower (Fig. 1). Kinetics of the IL-8 production from the cells infected with both bacteria was also similar to one another. Results presented in Fig. 2a show that the level of IL-8 increased gradually before reaching the maximum at 6 h. It should be mentioned that the viability of the cells infected with either bacterium, judged by tryphan blue staining, were more than 90% throughout the time-course of the experiments (data not shown).

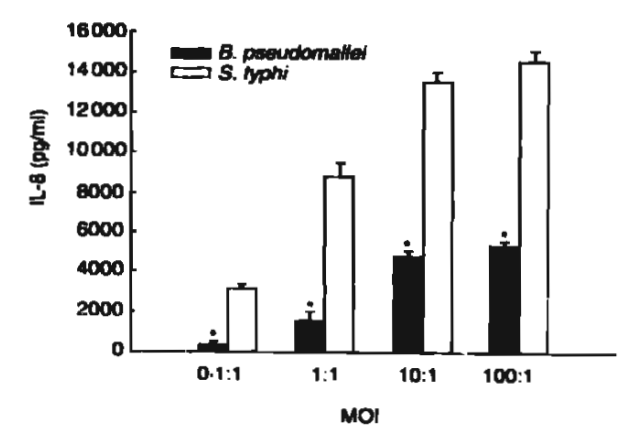
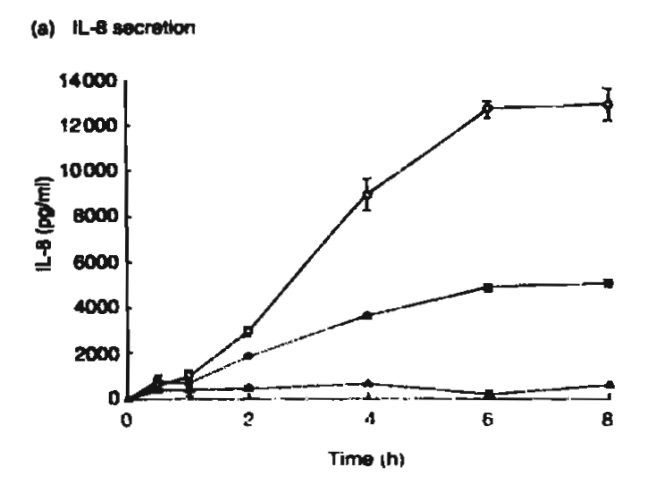
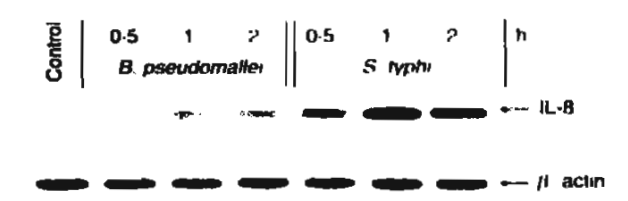


Fig. 1. 11. 8 production by infected human alveolar lung epithelial cell line (AS49). The cells (5 × 10° cells/well) were infected for 2 h with either B possible middle or S typin at MO1 of 0.1. 1. 1. 10° 1 and 100°. 1. The infected cells were washed with PBS three times before fresh culture medium containing 250 μ g/ml of kanamycin was added and cultured for 8 h. The supernatants were collected and used for H.-8 analysis by ELISA. Data represent mean and standard errors of 3 separate experiments each carried out in duplicate. *P < 0.01 by Student's t-test.







(c) In Bre degradation

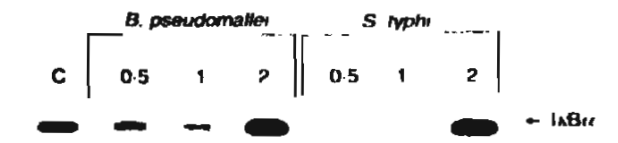


Fig. 2. Kinetics of H.-8 production, H. 8 mRNA expression and LaBin degradation. The cells $(5 \times 10^{\circ} \text{ cells/well})$ were infected with either B pseudomallei (\bullet) or S. typhi (\cdot) at an MOI of $(0 \cdot 1)$. Uninfected cells were used as control $(7 \cdot 1)$. At times indicated, the supermatants were collected and analysed for H. 8 by ELISA (a). The cells were then lysed and used for analysis of H.-8 mRNA expression by RTPCR (b) or for LxB degradation by immunoblotting (c). Data represent mean and standard errors of three separate experiments, each carried out in duplicate

The expression of IL-8 mRNA from the bacterial infected cells could be detected as early as 30 min of infection before reaching a maximum at 1 h (Fig. 2b). In parallel with the ELISA results above, the level of IL-8 mRNA expression in the S-rephinifected cells was considerably higher than in the B-pseudomallerinfected cells performed at the same MOL In accord with these observations, the level of $1\kappa H\alpha$ degradation was also higher in the S-typhi-infected cells, suggesting that S-typhi was a stronger cell activator. The results presented in Fig. 2c showed that the $1\kappa H\alpha$ in S-typhi-infected cells was degraded after 30 min and then reappeared after 2 h of infection.

Several other cytokines have been reported to be produced by epithelial cells. Some of these are known to be able to stimulate

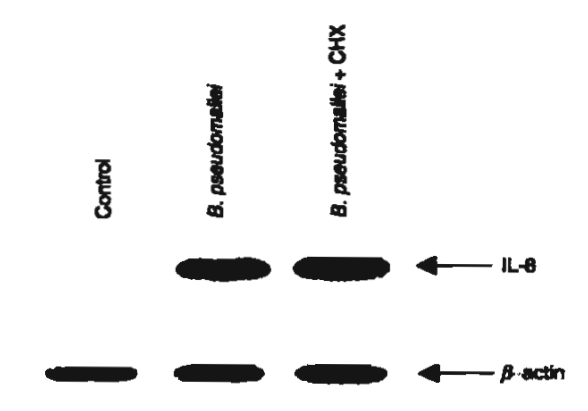


Fig. 3. Effects of evelohexamide on the expression of IL-8 mRNA in B, pseudomaller-intected cells. The cells were pretreated with cyclohexamide (5 μ gml) for 2 h before being infected with the bacteria at MOI of 10: 1. After 2 h of mediation, the infected cells were washed with PBS and then lysed. The expression of 11, 8 mRNA was determined by RE-PCR as described in Materials and methods.

II. 8 production from the epithebal cell [14]. In order to rule out the possibility that the IL-8 detected in *B. pseudomallei*-infected cells might have been stimulated by other cytokines produced by these intected cells, these cells were pretreated with cyclohexamide to inhibit protein synthesis for 2 h before being infected with *B. pseudomalloi*. The infected cells were then lysed and analysed for IL-8 mRNA expression. The results in Fig. 3 showed that under this condition, the *B. pseudomallei*-infected cells were still able to up-regulate IL-8 mRNA expression, suggesting that *B. pseudomallei* was able to directly mitiate the IL-8 production.

Because B pseudomadler has been reported to be able to invade and survive inside the non-phagocytic cells [7], it should be of interest therefore to determine whether or not invasion would be required to initiate the IL-8 production. In this series of experiments, cytochalasin D was added to the test system to prevent bacterial invasion [15]. Inhibition of bacterial entry by cytochalasin D did not reduce IL-8 production significantly (data not shown). Moreover, as shown in Fig. 4a and b, inhibition of the bacterial invasion interfered with neither expression of IL-8 mRNA nor LiBit degradation. These results suggested that invasion of B pseudomadler was not necessary for cell activation and IL-8 production. It should be noted that in the presence of cytoch alasin D, the number of internalized bacteria was reduced significantly to less than 8% compared with the cells tested in the absence of this inhibitor (data not shown).

DISCUSSION

Burkholderia pseudomallei is a facultative intracellular bacterium which can survive and multiply in both phagocytic and non-phagocytic cells. The mechanism of this bacterium to evade host defence is not understood fully. By comparing with other Gramnegative bacteria such as S. typhi, this bacterium appeared to be a rather poor macrophage activator [9,10]. More importantly, this bacterium failed to activate iNOS expression, which is a key enzyme in macrophages defence against bacteria including B. pseudomallei [9]. The failure to stimulate iNOS production would allow the bacteria to survive and multiply inside the macrophages,

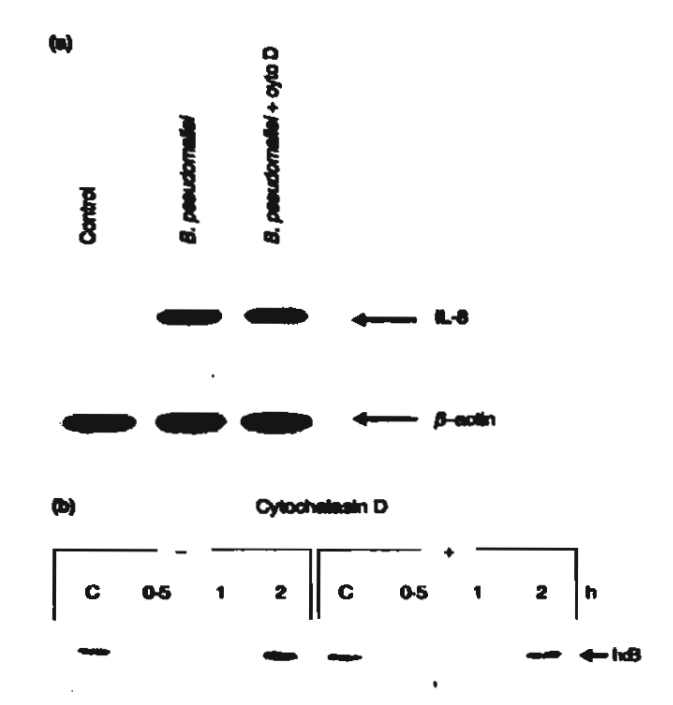


Fig. 4. Effects of cytochalasin D pretreatment on IL-8 mRNA expression (a) and $IxB\alpha$ degradation (b) on the cells infected with B. pseudomallei. The cells $(5 \times 10^5 \text{ cells/well})$ were pretreated with cytochalasin D $(2 \mu g/ml)$ for 2 h before being infected with B. pseudomallei at an MOI of 10:1. The cells were tysed after 2 h of infection. The expression of 1L-8 mRNA was determined by RT-PCR and the degradation of 1α 3 was detected by immunoblotting.

allowing infection of neighbouring cells by cell-to-cell spreading, as we have reported previously [6,7].

Because lung is the most commonly affected organ found in patients with melioidosis, in the present study we turned our attention to the interaction of this bacterium with human alveolar lung epithelium cells. Epithelial cells have the ability to produce an array of chemokines, including IL-8, which is a potent chemoattractant for polymorphonuclear cells and can direct recruitment of these cells into the infected sites [16]. In this study we have demonstrated that although B. pseudomallei could induce the human lung epithelium to produce IL-8 (Fig. 1), the level of cytokine and gene expression exhibited by B. pseudomallei-infected cells was significantly lower than those exposed to other Gram-negative bacteria such as S. typhi (Figs 1 and 2). One possible mechanism that depresses the cytokine gene expression in the infected cells involves nuclear translocation of transcription factors. NF-kB is an important regulator of IL-8 gene expression [17]. It is well documented that degradation of IxBa regulates NF-xB activation by forming a complex with NF-xB, preventing its translocation to the nucleus [18]. In response to stimuli, IxBa is degraded by proteosome, thereby freeing NFxB which then enters the nucleus. In normal circumstances, the $I \times B \alpha$ is rapidly resynthesized [18]. The data presented in Fig. 4, showing that the IsBα from the B. pseudomallei-infected cells was degraded to a sser extent than those infected with S. typhi, suggested that B. pseudomallei was not able to stimulate NF-kB translocation as

extensively as S. typhi (Fig. 2b). This could be one possible mechanism that causes the low IL-8 production in this model.

Several factors have been reported to play critical roles in the activation of epithelial cells. Infection of HeLa cells with invasive Shigella flexneri induced NF-xB translocation leading to the upregulation of IL-8 mRNA [19]. In contrast, non-invasive S. flexneri was unable to activate NF-xB and the expression of IL-8 gene was impaired. Similarly, intracellular growth of Mycobacterium tuberculosis was necessary to elicit IL-8 production by alveolar epithelial cell [20]. However, the inhibition of B. pseudomallei invasion by pretreatment of the cells with cytochalasin D did not interfere with IL-8 production and gene expression (Fig. 4). Moreover, the level of IxBa degradation was similar to the cells which were not treated with this inhibitor (Fig. 4b). Altogether these results suggested that the activation of lung epithelial cells by B. pseudomallei did not require bacterial entry into the cells. Recently, we demonstrated that B. pseudomallei was able to adhere to the surface of human lung epithelial cells [21]. It is therefore logical to conclude from the data presented in the present study that adherence to the cell surface alone by B. pseudomallei is sufficient to initiate a signal for IL-8 production. Several components on the surface of Gram-negative bacteria, e.g. lipopolysaccharide (LPS) have the ability to stimulate epithelial cells which lead to NF-xB activation and IL-8 production [22]. One possible mechanism for the IL-8 production in our model is the interaction of LPS of B. pseudomallei to the surface of the human lung epithelial cells. Another bacterial product, the flagellin, could also elisit IL-8 production in lung epithelial cells via TLR5 [23]. The role of B. pseudomallei flagellin in lung epithelial cell activation remains to be investigated.

Melioidosis presents itself as a febrile illness, ranging from acute septicaemia to a chronic localized infection. This disease is characterized by abscess formation in various organs. Airway inflammation, characterized by influx and activation of neutrophils, plays a major role in the pathology of human melioidosis. In this study we demonstrated that B. pseudomallei is able to stimulate IL-8 release from lung epithelial cells. The production of this chemokine may contribute to an influx of neutrophils that may lead ultimately to the lung damage observed in the patients with melioidosis. Accumulation of neutrophils may not only cause pathology of lung tissue, but it may also enhance host defence against B. pseudomallei. Even though the neutrophils were reported to have little activity against B. pseudomallei, increased neutrophil production by granulocyte colony-stimulating factor (G-CSF) has been shown recently to decrease the mortality rate significantly in patients with melioidosis [24,25]. Production of IL-8 from lung epithelial cells infected with B. pseudomallei may be sufficient to induce influx of neutrophils to the sites of infection and provide a sufficient degree of protective inflammatory response against B. pseudomallei infection.

ACKNOWLEDGEMENTS

This work was supported by research grants from the Thailand Research Pund.

REFERENCES

- 1 White N. Melioidosis. Lancet 2003; 361:1715-22.
- 2 Dharakul T, Songsivilai S. The many facets of melioidosis. Trends Microbiol 1999; 7:138-46.

- 3 Dhiensiri T, Puapairoj S, Susaengrat W. Pulmonary melioidosis: clinical-radiologic correlation in 183 cases in northeastern Thailand, Radiology 1988; 166:711-5.
- 4 Curric BJ, Fisher DA, Howard DM et al. Endemic melioidosis in tropical northern Australia: a 10 years prospective study and review of the literature. Clin Infect Dis 2000: 31:981-6.
- 5 Jone A, Beveridge TJ, Woods DE. Intracellular survival of Burkholderia pseudomallei. Infect Immun 1996; 64:782-90.
- 6 Harley VS, Dance DAB, Drasar BJ, Tovey G. Effects of Burkholderia pseudomallei and other Burkholderia species on cukaryotic cells in tissue culture. Microbios 1998; 96:71-93.
- 7 Kespichayawattana W, Rattanachetkul S, Wanun T, Utaisincharoen P, Sirisinha S. Burkholderia pseudomallei induces cell fusion and actinassociated membrane protusion: a possible mechanism for cell-to-cell spreading. Infect Imnun 2000; 68:5377–84.
- Wong KT, Puthucheary SD, Vadievelu J. The histopathology of human melioidosis. Histopathology 1995; 26:51–5.
- 9 Utaisincharoen P. Tangthawornchaikul N. Kespichayawattana W. Chaisuriya P. Sirisinha S. Burkholderia pseudomallei interferes with inducible nitric oxide synthase (iNOS) production: a possible mechanism of evading macrophage killing. Microbiol Immunol 2001; 45:307-13.
- 10 Utaisincharoen P, Anuntagool N, Limposuwan K, Chaisuriya P, Sirisinha S, Involvement of IFN-β in enhancing inducible nitrie oxide synthase (iNOS) production and antimerobial activity of B, pseudomallei-infected macrophages. Infect Immun 2003; 71:3053-7.
- 11 Anuntagool N, Intachote P, Wuthickanun N, White NJ, Sirisinha S, Lipopolysaccharide from nonvirulent Ara. Burkholderia pseudomallei isolates is immunologically indistinguishable from lipopolysaccharide from virulent Ara. clinical isolate. Clin Diagu. Lab. Immunol. 1998; 5:225-9.
- 12 Kawahara K, Dejsirilert S, Danhara H, Ezaki T, Extraction and characterization of lipopolysaccharide from *Pseudomonas pseudomalles*. FEMS Microbiol Lett 1992; 96:129–34.
- 13 Wuthickanun V, Smith MD, Dance DAB, Walsh AL, Pitt TL, White NJ. Biochemical characteristics of clinical and environmental isolates of *Burkholderia pseudomatlei*. J Med Microbiol 1996; 45:408-12.
- 14 Spriggs DR, Imamura K, Rodriguez C, Saribas E, Kufe DW, Tumor

- necrosis factor expression in human epithelial tumor cell lines. J Clin Invest 1988; 81:455-60.
- 15 Martinez JJ, Mulvey MA, Schilling JD, Pinkner S, Hultgren SJ. Type 1 pilus-mediated bacterial invasion of bladder epithelial cells. EMBO J 2000: 19:2803-12.
- 16 Eckmann L, Kagnoff MF, Fierer J. Epithelial cells secret the chemokine interleukin-8 in response to bacterial entry. Infect Immun 1993; 61:4569-74.
- 17 Mukaida N, Mahe Y, Matsushima K. Cooperative interaction of nuclear factor xB and cis-regulatory enhancer binding protein-like factor binding elements in activation the interleukin-8 gene by proinflammatory cytokines. J Biol Chem 1993; 256:21128-33.
- 18 Vema I, Stevenson M, Van Schwaz JKEM, Antwap D, Miyamoto S. Ral/NF-xB/LxB family: intimate tales of association and dissociation. Genes Dev 1995: 9:2723-35.
- 19 Philpott DJ, Yamaoka S, Israel A, Sansonetti PJ. Invasive Shigella flexneri activates NF-κB through a lipopolysaccharide-dependent innate intracellular response and leads to IL-8 expression in epithelial cells. J Immunol 2000; 165:903-14.
- 20 Lin Y, Zhang M, Barnes P. Chemokine production by a human alveolar epithelial cell line in response to Mycobacteria tuberculosis. Infect Immun 1998; 66:1121-6.
- 21 Kespichayawattana W. Intachote P. Utaisincharoen P. Sirisinha S. Virulent Burkholderia pseudomallei is more efficient than avirul at Burkholderia thailandensis in invasion of and adherence to culture human epithelial cells. Microb Pathog 2004; 36:287-92.
- 22 Utaisincharoen P. Tangthawornehaikul N. Kespichayawattana W. Anuntagool N. Chaisuriya P. Sirisinha S. Kinetic studies of the production of nitric oxide and tumor necrosis factor-alpha in macrophages stimulated with *Burkholderia pseudomallei* endotoxin. Clin Exp. Immunol 2000; 122:334-9
- 23 Liaudet L, Szabo C, I: /genov OV et al. Flagellin from Gram-negative bacteria is a potent mediator of acute pulmonary inflammation in sepsis. Shock 2003; 19:131-7.
- 24 Egan AM, Gordon DL. Burkholderia pseudomallei activates complement and is ingested but not killed by polymorphonuclear leukocytes. Infect Immun 1996; 64:4952-9.
- 25 Cheng AC, Stephens DP, Anstey NM, Currie BJ. Adjunctive granulocyte colony-stimulating factor for treatment of septic shock due to melioidosis. Clin Infect Dis 2004; 38:32-7.

ผู้อธิบายโครงงานวิจัย นางสาว พชรพร บุญยส, นาย กิจวัตร กุลละวณิชย์ ภากวิชา เทคโนโลยีชีวภาพ คณะวิทยาศาสตร์ มหาวิทยาลัยมหิดล **BT-05**

การศึกษาการตายของเซลล์แบบ apoptosis ในเซลล์ที่ได้รับเชื้อแบคทีเรีย

Burkholderia pseudomallei

พชรพร บุญยศ, กิจวัตร กุลละวณิชย์, อิษฎา เล่งเวหาสถิตย์ '

Burkholderia pseudomallei เป็นแบคทีเรียแกรมลบชนิดหนึ่ง ที่เป็นสาเหตุสำคัญของการเกิดโรค Melioidosis ในคนและสัตว์ ซึ่งเป็นโรคดิดต่อที่แพร่หลายอยู่ในเขตอากาศร้อน โดยเฉพาะอย่างยิ่งในทวีปเอเชียคะวันออกเฉียงใต้ และเนื่องจากว่าในปัจจุบันนี้ โรค Melioidosis ยังคงเป็นโรกติดต่อที่ยังไม่มีวิธีในการป้องกันและรักษาโรค ดังนั้น จึงมีความสำคัญเป็นอย่างยิ่งที่จะต้องทำการศึกษาและทำความเข้าใจเกี่ยวกับกลไกการก่อให้เกิดโรคนี้ เพื่อที่จะได้หาวิธี ในการรักษาและป้องกันโรคได้ต่อไป

งานวิจัยนี้ได้ศึกษาการตอบสนองและกลไกการตายของเซลล์ โดยศึกษาการปลดปล่อย Cytochrome C, การเกิด Protease activation ของ Enzyme caspase – 9 และการเปลี่ยนแปลงของ Mitochondrial membrane potential ของ phagocytic cells ที่ได้รับเชื้อแบคทีเรีย ผลการทดลองพบว่าเชลล์ที่ได้รับเชื้อ Burkholderia pseudomallei มีการปลดปล่อย Cytochrome C จาก Mitochondria ออกสู่ Cytoplasm ของเซลล์ เป็นผลทำให้เกิด caspase-9 activity ซึ่งอาจจะทำให้เซลล์เกิด apoptosis ขึ้นได้ การรั่วของ Cytochrome C นี้อาจเป็นผลมาจากการเปลี่ยนแปลงของ Mitochondrial membrane potential ซึ่งจากการศึกษาพบว่า ในเซลล์ที่ได้รับเชื้อแบคทีเรียนนิคนีมี Membrane potential ที่ลดลง และการรักษาระดับของ Membrane potential ไม่ให้ลดลงนี้สามารถทำได้โดยการ treat เซลล์ด้วย Interferon - ๆ ก่อนที่เซลล์จะได้รับเชื้อ การ treat เซลล์หลังจากได้รับเชื้อด้วย Antibiotic ซนิด Chloramphenicol และการทำลายเชื้อแบคทีเรียโดยกวามร้อน ซึ่งเหล่านี้จะช่วย ป้องกันเซลล์จากการถูกทำลายโดยเชื้อแบคทีเรียชนิดนี้ได้ ดังนั้นแนวทางในการป้องกันและรักษาโรค Melioidosis นั้น อาจนำเอา Interferon - ๆ มาทำเป็นวัคซีนเพื่อป้องกันการเกิดโรค แต่ทั้งนี้ต้องมีการศึกษาถึงความเข้มข้นที่เหมาะสม และรายละเอียดเกี่ยวกับการตอบสนองของเซลล์ต่อ Interferon - ๆ อย่างนี้ถ้วนต่อไท่ ส่วน Chloramphenicol นั้น สามารถที่จะนำมาใช้รักษาโรคนี้ได้ ซึ่งในปัจจุบันนี้ก็ได้มีการนำเอายานี้มาใช้รักษาผู้ป่วยที่มีอาการที่ไม่รุนแรงแล้ว จากการทดลองสามารถสรุปได้ว่า เซลล์มีการตอบสนองค่อเชื้อแบคทีเรียโดยการเปลี่ยนแปลงที่ Mitochondria ซึ่งเป็นผล ทำให้เกิดการตายของเซลล์แบบ apoptosis ตามมา อย่างไรก็ตามการกิด apoptosis

[&]quot;อาจารย์ที่ปรึกษา คร. อิษฎา เล่งเวหาสถิตย์ - ภาควิชาเทลในโลยีชีวภาพ คณะวิทยาสาสตร์ มหาวิทยาลัยมหิคล

Presenters

Ms. Patcharaporn Boonyos, Mr. Kitchawatt Kullavanijaya Department of Biotechnology, Faculty of Science, Mahidol University.

The study of apoptosis in Burkholderia pseudomallei – infected cells. Patcharaporn Boonyos, Kitchawatt kullavanijaya, Idsada Lengwehasatit

Burkholderia pseudomallei, a gram - negative bacterium, is the causative agent of melioidosis disease which occurs in both human and animals. This infectious disease can be found in tropical countries especially in Southeast Asia. However, the mechanisms of this bacterium infecting cells are not fully clear. Study of cellular responses and cell death in infected cells will provide information for better understanding the pathogenesis of this bacterium and also for rapid diagnosis of the disease.

The purpose of this research is to study the response and cell death mechanisms of infected cells by studying the release of cytochrome C, caspase – 9 activity, and changes in the level of mitochondrial membrane potential in infected phagocytic cells. From this study, we found the release of cytochrome C from mitochondria into cytoplasm of Burkholderia pseudomallei - infected cells leading to the activation of caspase – 9. These results imply the initiation of apoptosis as the consequence. In addition, the release of cytochrome C may result from the decrease in the level of mitochondrial membrane potential

Cells pre-treated with interferon - γ before infection was shown to maintain mitochondrial membrane potential. Similar results were found in infected cells treated with chloramphenical and cells infected with heat killed-bacteria, thus protecting cells from the damage caused by Burkholderia pseudomallei. From our results, we can conclude that cells respond to Burkholderia pseudomallei by interfering mitochondrial function leading to apoptosis. However, other markers of apoptosis should be carried out to make sure that infected cells undergo apoptosis.

References :

- 1. Sprague LD, Neubauer H. (2004) Melioidosis in animals: a review on epizootiology, diagnosis and clinical presentation. J Vet Med B Infect Dis Vet Public Health. 51(7):305-20.
- 2. http://bpseudomallej.mlst.net/mise info.asp
- 3. http://www.cdc.gov/neidod/dbmd-diseaseinfo/melioidosis_g.html

INDEX KEY WORDS: Burkholderia pseudomallei, melioidosis, apoptosis, interferon - y



www.elsevier.com/locate/micpath

Microbial Pathogenesis 38 (2005) 107-112

Burkholderia pseudomallei invasion and activation of epithelial cells requires activation of p38 mitogen-activated protein kinase

P. Utaisincharoen^{a,*}, S. Arjcharoen^a, I. Lengwehasatit^b, K. Limposuwan^a, S. Sirisinha^a

"Department of Microbiology, Faculty of Science, Mahidol University, Bangkok 10400, Thailand Department of Biotechnology, Faculty of Science, Mahidol University, Bangkok, Thailand

Received 4 November 2004; received in revised form 20 December 2004; accepted 27 December 2004

Abstract

Burkholderia pseudomallei is a causative agent of melioidosis. This gram-negative bacterium is able to survive inside the macrophages and also able to invade non-phagocytic cells including epithelial cells. Interaction of pathogenic bacteria to the host cells is frequently associated with activation of mitogen-activated protein (MAP) kinases signaling activity. In this study, we demonstrated that B. pseudomallei stimulated p38 MAP kinase of human alveolar lung epithelial cell line (A549). Phosphorylation of p38 was observed after 15 min, attained a maximal level at 60 min after the infection. A specific inhibitor of p38 phosphorylation, SB 203580, was able to inhibit invasion of this bacterium into the cells suggesting that invasion of B. pseudomallei required activation of p38. In contrast, wortmannin which is a specific inhibitor of phosphoinositide 3-kinase (P13 kinase) failed to inhibit the invasion. Moreover, SB 203580 can also interfere with IkB& degradation and IL-8 mRNA expression, indicating that the phosphorylation of p38 occurred upstream of NF-kB activation. Cytochalasin D, an inhibitor of actin polymerization needed for internalisation of bacteria, did not have any effect on the phosphorylation of p38. These results indicate that B. pseudomallei stimulate phosphorylation of p38 making by initial contact with the cell surface components and do not require internalisation and interaction with intracellular cytoplasmic components of the cells.

© 2005 Elsevier Ltd. All rights reserved.

Keywords: Burkholderia pseudomallei; Melioidosis; p38 MAP kinase; Human lung epithelial cell line; IkBa

1. Introduction

Burkholderia pseudomallei is a causative agent of melioidosis, an endemic disease in several tropical countries including southeast Asia and northern Australia [1,2]. In humans, the disease is usually acquired by skin inoculation or by inhalation of the dust contaminated with B. pseudomallei [1]. Melioidosis is characterized by formation of abcess in various organs. Lungs are the most commonly affected organ in those with chronic melioidosis [3,4]. The patients often present themselves with cough and fever as a result of primary lung abcess or secondary to septicemia spread.

This gram-negative bacterium could survive and multiply in both phagocytic and non-phagocytic cells. After

ganism is not only able to invade human alveolar lung

epithelial cell (A549) but it also can activate NF-kB leading

internalisation, B. pseudomallei can escape membrane bound phagosome into the cytoplasm [5]. Inside the cells, B. pseudomallei can also induce cell-to-cell fusion resulting

in multinucleated giant cell (MNGC) formation [6,7]. This

unique ability may facilitate this bacterium to spread from

one cell to another. The MNGC formation was also observed in the tissues of patients with melioidosis [8]. The mechanisms by which *B. pseudomallei* survives and multiplies inside the cells are not fully understood. However, accumulated evidence indicate that this bacterium is able to invade macrophages without activating inducible Nitric Oxide Synthase (iNOS) which is a key enzyme in antimicrobial activity of the macrophage [9]. The failure to stimulate iNOS expression may facilitate this bacterium to survive and multiply inside the macrophages [9,10]. Interaction and activation of non-phagocytic cells by *B. pseudomallei* have been recently reported. This microor-

^{*} Corresponding author, Tel.: +662 201 5954; fax: +662 201 5972. E-mail address: seput@mahidol.ac.th (P. Utarsincharoen).

to IL-8 production [11,12]. Interestingly, activation of NF-kB and IL-8 production did not require invasion of bacteria, indicating that adhesion of *B. pseudomallei* to the surface of the epithelium was sufficient for signaling.

The mitogen-activated protein (MAP) kinases are central to many host cell signaling pathway. These signaling proteins have been reported to be involved in many host responses against invasive bacterial infection. Inhibition of MAP kinase by specific inhibitor results in a significant decrease of cell activation, which led to the reduction of cytokine production from the infected, cells [13-15]. Moreover, the role of MAP kinase in bacteria internalisation has also been reported. For example, invasion of Listeria monocytogenes into the epithelial cell was inhibited when the cells were pretreated with MAP kinase inhibitor [14]. In contrast, MAP kinase inhibitor did not interfere with invasion of Salmonella enterica serova Typhimurium (S. typhimurium) [14]. Among the MAP kinase proteins, p38 MAP kinase is known to play an important role in epithelial cell response against a number of invasive bacteria [13-15]. Infection of epithelial cell lines with S. typhimurium induces activation of p38 MAP kinases leading to activation of NF-kB and AP-1 [13-15]. Inhibition of p38 MAP kinase could also prevent cytokine production such as IL-8 from the epithelial cells infected with S. typhimurium [13]. In the present study, we demonstrate the involvement of p38 MAP kinase in the epithelial cell response to B. pseudomallei infection.

2. Results

2.1. Phosphorylation of p38 in B. pseudomallei-infected human alveolar lung epithelial cell line (A549)

In order to determine whether or not phosphorylation of p38 is involved in *B. pseudomallei* infection, the cells were infected with the bacteria at MOI of 10:1. At times indicated, the infected cells were lysed and phosphorylated p38 (pp38) was determined by immunoblotting. The results presented in Fig. 1 showed that *B. pseudomallei* was able to stimulate phosphorylation of p38 within the first 15 min of infection and reached the maximal level at 60 min.

2.2. Cytochalasin D does not inhibit the phosphorylation of p38 induced by B. pseudomallei

To investigate whether or not initiation of signal for phosphorylation of p38 requires bacterial internalisation, cytochalasin D (2 μg/ml) was added to the cells cultured for I h before B. pseudomallei infection. One hour after the infection, the phosphorylation of p38 from the infected cells was determined by immunoblotting. As shown in Fig. 2, cytochalasin D did not inhibit the phosphorylation of p38 protein. In contrast, SB 203580, a specific inhibitor of p38

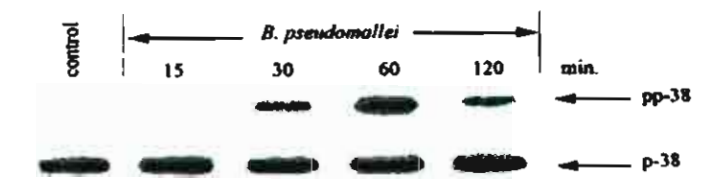


Fig. 1. Phosphorylation of p38 in B. pseudomallei-infected cells. The human alveolar lung epithelial cell line $(5 \times 10^5 \text{ cells/well})$ was infected with B. pseudomallei at MOI of 10:1. As time indicated, the cells were lysed and phosphorylation of p38 was determined by immunoblotting.

MAP kinase, used as a positive control, prevented the phosphorylation of p38.

2.3. B. pseudomallei invasion into A549 requires phosphorylation of p38

In order to investigate the role of p38 MAP kinase in invasion of B. pseudomallei into the cells, the cells were pretreated with various concentrations of SB 203580 1 h before infection. The results showed that this inhibitor at a concentration as low as 2.5 µM was able to significantly reduce the invasion of B. pseudomallei (Fig. 3). The inhibition of B. pseudomallei invasion by this inhibitor was a concentration dependent and at 20 µM, SB 203580 was able to reduce internalisation of this bacterium to less than 30%. SB 203580 at the concentration used in these experiments did not interfere with the growth of B. pseudomallei in TSB (data not shown). On the other hand, wortmannin (an inhibitor of phospoinositide 3-kinase, PI3kinase) failed to inhibit invasion of B. pseudomallei into the cells (Fig. 3). It should be mentioned that the viability of the infected cells treated with SB 203580 at the concentration used in these experiments were more than 90%, as judged by tryphan blue staining (data not shown).

We previously demonstrated that the number of MNGC formation used as a marker for *B. pseudomallei* infection is directly proportional to the number of viable intracellular

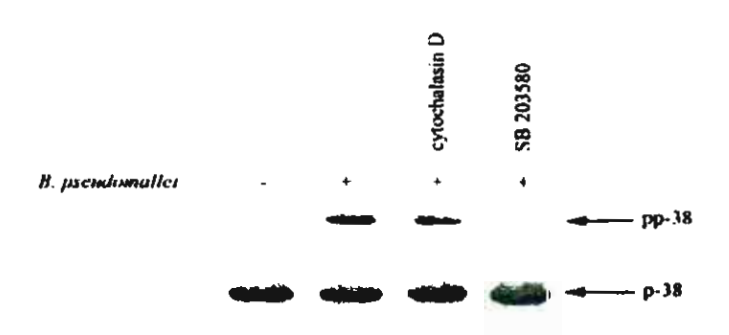


Fig. 2. Effect of cytochalasin D on the phosphorylation of p38 induced by B. pseudomallei. The cells $(5 \times 10^5 \text{ cells/well})$ were pretreated with 2 μ g/ml of cytochalasin D or 20 μ M of SB 203580 for 1 h before infected with B. pseudomallei at MOI of 10:1. After 1 h of infection, the cells were lysed and phosphorylation of p38 was determined by immunoblotting.

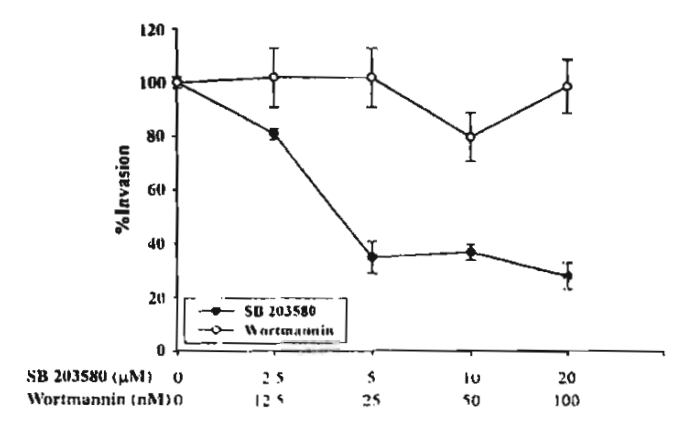


Fig. 3. Inhibition of *B. pseudomaller* invasion by SB 203580 and wortmannin. The cells (5×10⁵ cells/well) were pretreated with various concentrations of SB 203580 and wortmannin for I b before being infected with *B. pseudomaller* at MOI of 10:1. The invasion of bacteria was determined by standard antibiotic protection assay as described in Section 4. Data represent means and standard errors of three separate experiments, each carried out in duplicate.

bacteria [7,16]. In the presence of SB 203580, this inhibitor significantly reduced the number of MNGC formation as shown in Fig. 4. Similar results were observed when the cells were pretreated with cytochalasin D. In contrast, wortmannin also failed to inhibit MNGC formation. It should be noted that the SB 203580 inhibitor used in this

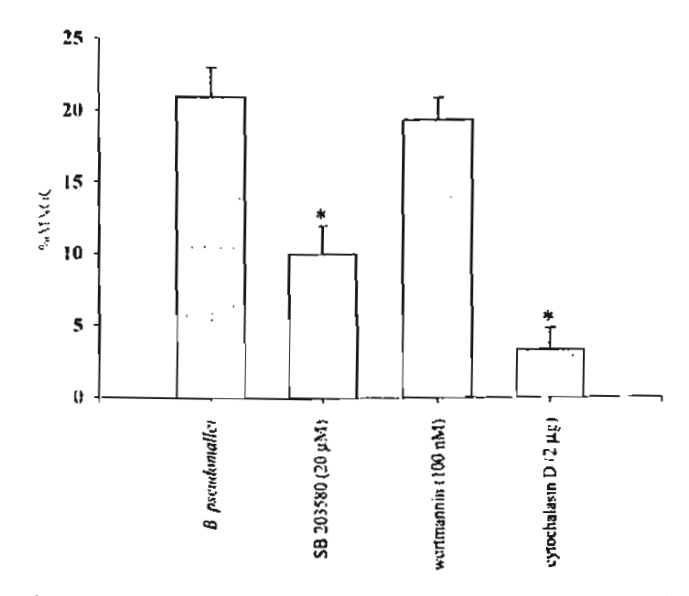


Fig. 4 Effects of the inhibitors in preventing MNGC formation of *B. pseudomallei* infected cells. The cells $(5\times10^5~{\rm cells/well})$ were cultured in coverslips overnight before pretreated with SB 203580 (20 μ M), wortmannin (100 nM) or cytochalasin D (2 μ g/ml) for 1h and were then infected with *B. pseudomallei* at MOI of 10.1. Eight hours after the infection, coverships were fixed and stained with Ginsa staining and the number of MNGC was determined by microscopic examination (400×). Data represent means and standard errors of three separate experiments, each carried out in duplicate. * $P \le 0.05$ by student's t-test.

experiment did not reduce MNGC formation if added an hour after *B. pseudomallei* infection, indicating that at the concentration used, this inhibitor did not interfere with the process of MNGC formation (data not shown).

2.4. IKBa degradation and IL-8 production of A549 infected with B. pseudomallei requires phosphorylation of p38

Previously, we demonstrated that B. pseudomallei was able to activate $I\kappa B\alpha$ degradation indicating the NF- κB activation in A549 [12]. The activation of this nuclear factor also led to the upregulation of IL-8 gene expression [12]. To further investigate the signaling proteins required to activate NF- κB , the cells were pretreated with SB 203580 before infected with B. pseudomallei. At time indicated, $I\kappa B\alpha$ degradation from the infected cells was determined by immunoblotting. As shown in Fig. 5A, comparing with the cells infected with bacteria alone, $I\kappa B\alpha$ degradation was inhibited in the cells pretreated with SB 203580. Similarly, SB 203580 was able to significantly reduce IL-8 mRNA expression as judged by RT-PCR (Fig. 5B).

3. Discussion and conclusions

Pathogenesis of B. pseudomallei infection have been extensively studied both in vitro and in vivo. Several potential virulence factors including type III secretion system, flagella and capsular exopolysaccharide have been investigated [17-20]. However, very limited information on how this bacterium modulate the host cells is currently available. Previously, we reported that B. pseudomallei was able to survive macrophages killing by modulating the cells by mechanism which was different from other invasive gram-negative bacterium such as S. enterica serova Typhi (S. typhi). The macrophages infected with B. pseudomallei produced very low level of IFN-β which is a key cytokine that regulates iNOS expression, resulting in its ability to survive inside the macrophages [10]. The activation of nonphagocytic cells, e.g. human alveolar lung epithelium (A549), by B. pseudomallei has been recently reported [12]. This microorganism was able to activate NF-kB of the infected cells by interacting to the cell surface [12]. The B. pseudomallei-infected epithelium also produced IL-8, which is a potent chemoattractant for polymorphonuclear cell [12].

MAP kinase pathways have been demonstrated to play an important role in bacterial internalisation and modulation of cytokine responses. Invasive bacteria modulate the cells by activating different signaling proteins of MAP kinase pathways. For example, invasion of *Porphyromonas gingivalis* activated c-Jun N-terminal kinase (JNK) of the human gingival epithelial cells while non-invasive *Streptococcus gordonii* did not have significant effect on JNK activation [21]. S. typhimurium infection of cultured intestinal epithelial cells resulted in the activation of JNK.

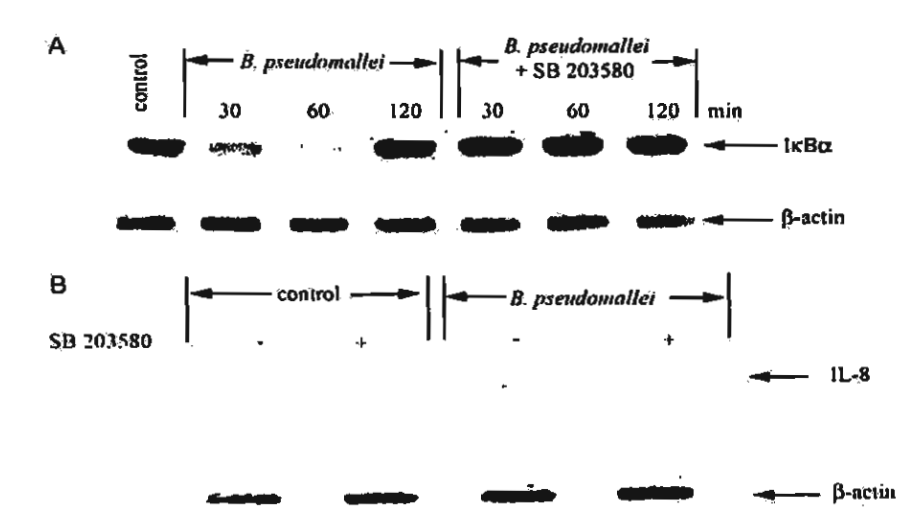


Fig. 5. Effect of SB 203580 on cell activation. The cells $(5 \times 10^5 \text{ cells/well})$ were pretreated with SB 203580 (20 μ M) for 1 h before being infected with B. pseudomatlet at MOI of 10.1. To determined the IkBz degradation, the samples taken at 30 min, 1 and 2 h was lysed and subjected to immunoblotting (A). Expression of IL-8 mRNA was determined by RT-PCR from the cells that were infected with B. pseudomatlet for 2 h (B).

p38 and extracellular regulated kinase (ERK) [13]. Induction of these signaling pathways by S. typhimurium was strictly dependent on the function of the type III protein secretion system [13]. Wild type Shigella flexneri but not LPS-defective mutant was able to stimulate ERK of the intestinal epithelium indicating that LPS may plays an important role in mediating epithelia signaling [22]. Invasion of L. monocytogenes to epithelial cells requires activation of both MEK-1/ERK-2 and PI 3-Kinase [14,23], PD 98059 or wortmannin could prevent invasion of this bacterium. Previously, we reported that comparing with B. thailandensis, B. pseudomallei was able to more effectively adhere and invade into human alveolar lung epithelium [11]. In the present study, we showed that this bacterium was able to induce phosphorylation of p38 within 15 min after infection (Fig. 1). The phosphorylation of p38 was still observed when the cells were pretreated with cytochalasin D indicating that activation of p38 MAP kinase was triggered at the time of initial contact with the cell surface (Fig. 2). Inhibition of p38 MAP kinase by SB 203580 prevented invasion of B. pseudomallei into the cells (Fig. 3). In contrast, wortmannin, an inhibitor of PI 3 Kinase, which was able to inhibit invasion of L. monocytogenes, failed to inhibit invasion of B. pseudomallei suggesting that invasion of B. pseudomallei does not require activation of PI-3 kinase. Moreover, inhibition of p38 MAP kinase also prevented IkBa degradation which indirectly suggested the NF-kB activation was inhibited by this inhibitor (Fig. 5A). This result also suggests that activation of p38 MAP kinase was associated with NF-kB activation. Inhibition of NF-kB activation by this inhibitor also leads to significant reduction of IL-8 mRNA expression (Fig. 5B). Similar to B. pseudomallei, S. typhimurium was also able activate p38 MAP kinase leading to NF-kB activation in the intestinal epithelial cell [13]. Inhibition of p38 MAP kinase by SB 203580 also could block NF-kB activation and

IL-8 production from the cells infected with S. typhimurium [13]. However, in contrast to B. pseudomallei, inhibition of MAP kinase signaling did not prevent invasion of S. typhimurium [14,15]. These results suggested that B. pseudomallei modulates invasion into epithelial cell by mechanism which is different from S. typhimurium.

Several potential *B. pseudomallei* components including LPS or/and type III proteins secretion system may play a role in activation of p38. Previously we have demonstrated that LPS isolated from *B. pseudomallei* was able to activate phosphorylation of p38 in mouse macrophage [24]. Therefore, LPS may be one of the components contributing in activation of the non-phagocytic cell. Type III secretion system has also been reported to be the essential component in modulating the intracellular behavior of *B. pseudomallei* [17]. This group of bacterial proteins may participate in pathogenesis of *B. pseudomallei* by enhancing its ability to invade the cells [11]. However, the role of *B. pseudomallei* type III secretion system in activating p38 remains to be investigated.

4. Materials and methods

4.1. Bacterial isolation

B. pseudomallei strain 844 used in this study was originally isolated from a patient admitted to Srinagarind Hospital in the melioidosis endemic Khon Kaen province of Thailand. The bacterium was originally identified as B. pseudomallei based on its biochemical characteristics, colonial morphology on selective media, antibiotic sensitivity profiles and reaction with polyclonal antibody [25–27] which was used in our previous reports [9,10,12]. For use in the experiments, the bacteria were cultured in Trypticase soy broth at 37 °C with rotation at 120 rpm. The overnight

cultures were washed twice in phosphate-buffered saline (PBS) and adjusted to a desired concentration by measurement of the optical density at 650 nm and the colony-forming unit (CFU) was estimated from the precalibrated standard curve.

4.2. Inhibitors

SB 203580, wortmannin, and cytochalasin D were purchased from Sigma Chemicals (St Louis, MO). These inhibitors were reconstituted in dimethyl sulfoxide and stored in -20° C until used.

4.3. Infection of human lung epithelial cells (A549)

Human lung epithelial cell line (A549) used in the experiments was obtained from American Type Culture Collection (ATCC, Rockville, MD). The cells were cultured in Ham's F-12 (HyClone, Logan, UT) supplemented with 10% fetal bovine serum, FBS (Gibco Labs, Grand Island, NY) at 37 °C in 5% CO₂ atmosphere. If not indicated otherwise, these cells (5×10^5) were cultured overnight in a six-well plate before exposure to the bacteria at a multiplicity of infection (MOI) of 10:1 for 2 h. To remove extracellular bacteria, the cells were washed three times with 2 ml of PBS before replacing with the medium containing 250 µg/ml kanamycin (Gibco Labs). At the time indicated, the cells were lysed and subjected to immunoblotting.

4.4. Invasion assay

A standard antibiotic protection assay was performed to determine the degree of bacterial internalisation by human lung epithelial cell line [16]. After the infected cells were incubated in the medium containing 250 µg/ml of kanamycin for 1 h, the cells were washed three times with PBS and intracellular bacteria were liberated by lysing the cells with 0.1% Triton X-100 and plating the released bacteria in tryptic soy agar. The number of intracellular bacteria expressed as colony forming unit (CFU) was determined by bacterial colony counting.

4.5. Quantification of multinucleated giant cell (MNGC) formation from the cells infected with B. pseudomallei

In order to quantitate the degree of MNGC, the A549 (5×10⁵) were first cultured overnight on a coverslip. The cells were infected with *B. pseudomallei* as described. Eight hours after the infection, the coverslips were washed with PBS, fixed for 15 min with 1% paraformaldehyde and then washed sequentially with 50 and 90% ethanol for 5 min each. The coverslips were air dried before staining with Giemsa [7]. For enumeration of MNGC formation, at least 1000 nuclei per coverlsip were counted and the percentage of multinucleated cells was calculated. The MNGC was

defined as the cell possessing more than one nuclei within the same cell boundary [16].

4.6. Immunoblotting

At time intervals, the infected cells were lysed in buffer containing 20 mM Tris, 100 mM NaCl and 1% NP40. The lysates containing 30 μg of protein were electrophoresed using 10% polyacrylamide and were then electrotransferred to nitrocellulose membrane (Schleicher&Schuell, Dassel, Germany). The membrane was blocked with 5% skim milk for 1 h before incubating overnight with rabbit polyclonal antibody to IκBα or monoclonal mouse antibody to pp38 or p38 (Santa Cruz, Santa Cruz, CA). Blots were then reacted with horseraddish peroxidase-conjugated swine anti-rabbit IgG (Dako, Glostrup, Denmark). Protein bands were detected with enhanced chemiluminescence kit (Roche Diagnostic, Mannheim, Germany).

4.7. Reverse transcriptase-polymerase chain reaction (RT-PCR)

After the cells were infected with *B. pseudomallei* for 2 h, the cells were washed three times with PBS. Total RNA was extracted from the infected cells according to the manufacturer's instruction (Eppendorf, Hamburg, Germany) and used for cDNA synthesis by cMaster RT Enzyme (Eppendorf). The PCR reaction was performed using primers specific for IL-8 as previously described [12]. The amplified products were electrophoresed on 1.8% agarose gel and stained with ethidium bromide before being visualized under an ultraviolet lamp.

4.8. Statistical analysis

If not indicated otherwise, all experiments carried out in this study were conducted at least three times. The data shown are representative results. Experimental values are expressed as means \pm standard errors. The statistical significance of differences between the two means was evaluated by Student's t test, and p value <0.01 was considered significant.

Acknowledgements

This work was supported by research grants from Thailand Research Fund.

References

- [1] White N. Melioidosis. Lancet 2003;361:1715-22.
- [2] Dharakul T, Songsivilai S. The many facets of melioidosis. Trends Microbiol 1999;7:138-46.

- [3] Dhiensiri T, Puapairoj S, Susaengrat W. Pulmonary melioidosis: clinical-radiologic correlation in 183 cases in northeastern Thailand. Radiology 1988;166:711-5.
- [4] Currie BJ, Fisher DA, Howard DM, Burrow JN, Lo D, Selva-Nayagam S, et al. Endemic melioidosis in tropical northern Australia: a 10 years prospective study and review of the literature. Clin Infect Dis 2000;31:981-6.
- [5] Jone A, Beveridge TJ, Woods DE. Intracellular survival of Burkholderia pseudomallei. Infect Immun 1996;64:782-90.
- [6] Harley VS, Dance DAB, Drasar BJ, Tovey G. Effects of Burkholderia pseudomailei and other Burkholderia species on eukaryotic cells in tissue culture. Microbios 1998;96:71-93.
- [7] Kespichayawattana W, Rattanachetkul S, Wanun T, Utaisincharoen P, Sirisinha S. Burkholderia pseudomallei induces cell fusion and actinassociated membrane protusion: a possible mechanism for cell-to-cell spreading. Infect Immun 2000;68:5377-84.
- [8] Wong KT, Puthucheary SD, Vadievelu J. The histopathology of human melioidosis. Histopathology 1995;26:51-5.
- [9] Utaisincharoen P, Tangthawornchaikul N, Kespichayawattana W, Chaisuriya P, Sirisinha S. Burkholderia pseudomallei interferes with inducible nitric oxide synthase (iNOS) production: a possible mechanism of evading macrophage killing. Microbiol Immunol 2001;45:307-13.
- [10] Utaisincharoen P, Anuntagool N, Limposuwan K, Chaisuriya P, Sirisinha S. Involvement of IFN-β in enhancing inducible nitric oxide synthase (iNOS) production and antimicrobial activity of B. pseudomallei-infected nucrophages. Infect Immun 2003;71:3053-7.
- [11] Kespichayawattana W, Intachote P, Utaisincharoen P, Sirisinha S. Virulent Burkholderia pseudomallei is more efficient than avirulent Burkholderia thailandensis in invasion of and adherence to culture human epithelial cells. Microb Pathog 2004;36:287-92.
- [12] Utaisincharoen P, Anuntagool N, Arjcharoen S, Lengwehasalit I, Limposuwan K, Chaisuriya P, et al. Burkholderia pseudomallei stimulates low interleukin-8 production in the human lung epithelial cell line A 549. Clin Exp Immunol 2004;138:61-5.
- [13] Hobbie S, Chen LM, Davis RJ, Galan JE. Involvement of mitogenactivated protein kinase pathways in the nuclear responses and cytokine production induced by Salmonella typhimurium in cultured intestinal epithelial cells. J Immunol 1997;159:5550-9.
- [14] Tang P, Sutherland CL, Gold MR, Finlay BB. Listeria monocytogenes invasion of epithelial cells requires the MEK-1/ERK-2 mitogenactivated protein kinase pathway. Infect Immun 1998;66:1106-12.
- [15] Mynott TL, Crosset B, Prathalingam SR. Proteolytic inhibition of Salmonella enterica serova Typhimurium-activated protein kinases ERK and JNK in cultured human intestinal cells. Infect Immun 2002;70:86-95.

- [16] Utaisincharoen P, Kespichayawattana W, Anuntagool N, Chaisuriya P, Pichyangkul S, Krieg AM, et al. CpG ODN enhances uptake of bacteria by mouse macrophages. Clin Exp Immunol 2003; 132:70-5.
- [17] Stevens MP, Wood MW, Taylor LA, Monaghan P, Hawes P, Jones PW, et al. An Inv/Mxi-Spa-like type III protein secretion system in *Burkholderia pseudomallei* modulates intracellular behavior of the pathogen. Mol Microbiol 2002;46:649-59.
- [18] Stevens MP, Friebel A, Taylor LA, Wood MW, Brown PJ, Hardt WD, et al. A Burkholderia pseudomallei type III secreted protein BopE, facilitates bacterial invasion of epithelial cells and exhibits guanine nucleotide exchange factor activity. J Bacteriol 2003;185:4992-6.
- [19] Chua KL, Chan YY, Gan YR. Flagella are virulent determinants of Burkholderia pseudomallei. Infect Immun 2003;71:1622-9.
- [20] Reckseidler SL, DeShazer D, Sokol PA, Woods DE. Detection of bacterial virulence genes by subtractive hybridization: identification of capsular polysaccharide of *Burkholderia pseudomallei* as a major virulence determinant. Infect Immun 2001;69:34-44.
- [21] Watanabe K, Yilmaz O, Nakhjiri SF, Belton CM. Lamont R. Association of mitogen-activated protein kinase pathways with gingival epithelial cell response to *Porphyromonas gingivalis* invection. Infect Immun 2001;69:6731-7.
- [22] Kohler H, Rodrigues SP, McCormic BA. Shigella flexneri interactions with the basolateral membrane domain of polarized model intestinal epithelium: role of tipopolysaccharide in cell invasion and in activation of the mitogen-activated protein kinase ERK. Infect Immun 2002;70:1150-8.
- [23] Ireton K, Payrastre B, Chap H, Ogawa W, Sakaue H, Kasuga M, et al. A role of phosphoinositide 3-kinase in bacterial invasion. Science 1996;274:780-2.
- [24] Utaisincharoen P, Tangthawornchaikul N, Kespichayawattana W, Anuntagool N, Chaisuriya P, Sirisinha S. Kinetic studies of the production of nitric oxide and tumor necrosis factor-alpha in macrophages stimulated with Burkholderia pseudomallei endotoxin. Clin Exp Immunol 2000;122:324-9.
- [25] Anuntagool N, Intachote P, Wuthiekanun N, White NJ, Sirisinha S. Lipopolysaccharide from nonvirulent Ara * Burkholderia pseudo-mallei isolates is immunologically indistinguishable from lipopolysaccharide from virulent Ara clinical isolate. Clin Diagn Lab Immunol 1998;5:225-9.
- [26] Kawahara K, Dejsirilert S, Danbara H, Ezaki T. Extraction and characterization of lipopolysaccharide from *Pseudomonas pseudo-mallei*. FEMS Microbiol Lett 1992;96:129-34.
- [27] Wuthiekanun V, Smith MD, Dance DAB, Walsh AL, Pitt TL, White NJ. Biochemical characteristics of clinical and environmental isolates of Burkholderia pseudomallei. J Med Microbiol 1996;45: 408-12.

การประชุมเพื่อเสนอผลงานวิจัยของนักวิจัยรุ่นใหม่ และพบกับเมชีวิจัยอาวุโส สกว.

Study of mitochondrial function of cells infected with Burkholderia pseudomallei

Idsada Lengwehasatita* and Pongsak Utaisinchareonb

Abstract—Burkholderia pseudomallei is gram-negative bacterium causing melioidosis. The bacteria are usually found in contaminated soil and water and are transmitted to humans and animals through direct contact with the contaminated sources. This infection affects various organs throughout the body leading to death if host defense mechanism relapses. However, in which cellufar mechanism responding to this bacterium conducting to pathogenesis is not fully known. In this study, phagocytic mouse macrophage, RAW264.7 cell line was infected with either B. pseudomallei (pathogenic strain) or B. thailandensis (non-pathogenic strain). After internalization, both bacteria could survive and multiply inside ells. Morphological changes of the infected cells including cell-cell fusion and the formation of multinucleated giant cells were observed. Cytotoxicity and alteration of the cells infected with these two bacteria were detected. Although, cells infected with B. pseudomallei and B. thailandensis showed the decrease in the level of mitochondrial membrane potential (App.) and intracellular lactate dehydrogenase (LDH), the level determined in B. pseudomallei-infected cells was significantly less than those in B. thailandensis-infected cells. This result suggests that B. pseudomallei (pathogenic material) can cause cell damage by interfering mitochondria while the non-pathogenic strain can not damage cells in the similar fashion.

Keywords Burkholderia pseudomallei, macrophage, cytotoxicity, mitochondria

Output

[&]quot;Department of Biolechnology, Faculty of Science, Mahidol University, Rama VI Road, Ratchathewee, Bangkok 10400

^{*}Department of Microbiology, Faculty of Science, Mahidol University, Rama VI Road, Ratchathewee, Bangkok 10400

^{*}Corresponding author, Tel. +66-2-201-5918; fax: +66-2-201-5926; e-mail: scilw@mahidol.ac.th.